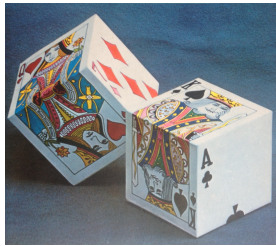


# Fundamentos Estatísticos para Ciência dos Dados

## Exemplos e Propriedades da Normal multivariada

Renato Martins Assunção

DCC, UFMG



# Normal bivariada

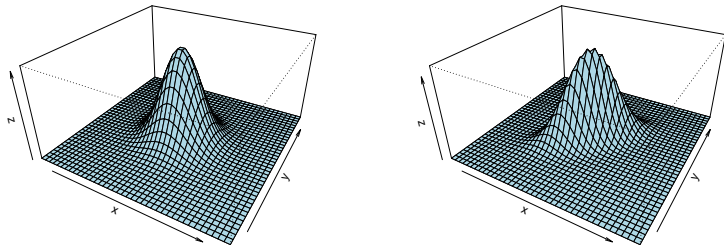
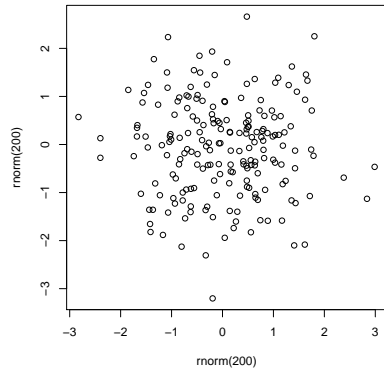
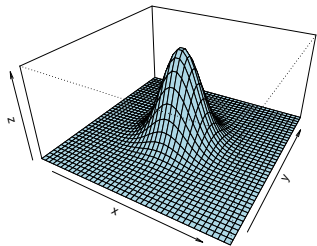


Figura: Densidade da normal bivariada

# Normal bivariada

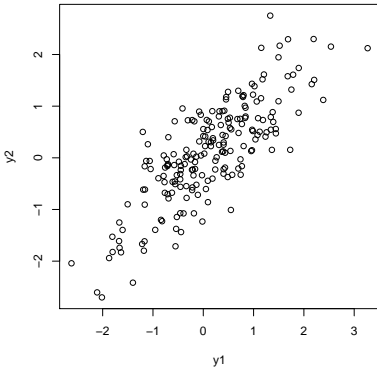
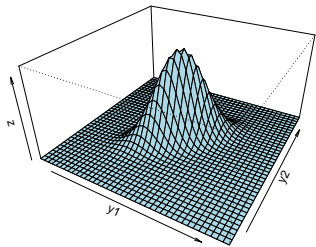
- Importante distribuição para um vetor aleatório  $\mathbf{Y} = (Y_1, Y_2)$
- Cada uma das v.a's separadamente segue uma gaussiana com sua própria esperança  $\mu_j$  e variância  $\sigma_j^2$
- Isto é,  $Y_1 \sim N(\mu_1, \sigma_1^2)$  e  $Y_2 \sim N(\mu_2, \sigma_2^2)$
- As amostras de  $\mathbf{Y}$  formam nuvens de pontos em forma de elipses centradas em  $(\mu_1, \mu_2)$ .
- Além disso, elas não são (em geral) independentes: A distribuição de  $Y_2$  MUDA SE SOUBERMOS O VALOR DE  $Y_1$ .
- Um único parâmetro  $\rho \in [-1, 1]$  controla o grau de associação ou correlação entre  $Y_1$  e  $Y_2$ .

# Densidade e amostra



**Figura:** Normal bivariada com  $Y_1 \sim N(\mu_1 = 0, \sigma_1^2 = 1)$  e  $Y_2 \sim N(\mu_2 = 0, \sigma_2^2 = 1)$  e com correlação  $\rho = 0$

# Densidade e amostra



**Figura:** Normal bivariada com  $Y_1 \sim N(\mu_1 = 0, \sigma_1^2 = 1)$  e  $Y_2 \sim N(\mu_2 = 0, \sigma_2^2 = 1)$  e com correlação  $\rho = 0.80$

# Uma amostra de uma normal bivariada

- $n = 100$  instâncias do vetor aleatório  $\mathbf{Y} = (Y_1, Y_2)$ .
- Existem os valores MARGINAIS:
  - $\mathbb{E}(Y_1) = \mu_1$
  - $\sqrt{\mathbb{V}(Y_1)} = \sigma_1$
  - e também  $\mathbb{E}(Y_2) = \mu_2$
  - e  $\sqrt{\mathbb{V}(Y_2)} = \sigma_2$
- Estes valores são facilmente estimados a partir das MARGENS do gráfico.
- Por exemplo:
  - $\mathbb{E}(Y_1) = \mu_1 \approx 10$
  - $\sigma_1 \approx 2.5$
- Agora você:  $\mathbb{E}(Y_2) = \mu_2 \approx ???$  e  $\sigma_2 \approx ???$

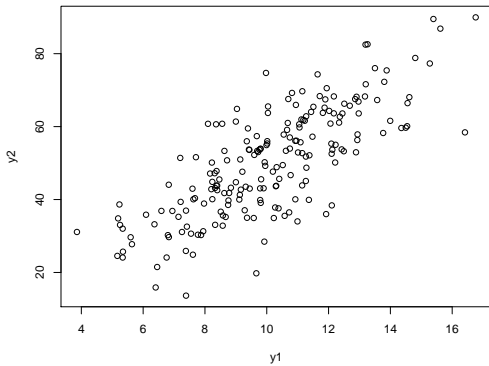


Figura: Amostra de normal bivariada

# Uma amostra de uma normal bivariada

- Temos  $\mathbb{E}(Y_2) = \mu_2 \approx 50$
- E  $\sigma_2 \approx 15$
- Os valores de  $Y_1$  e  $Y_2$  medidos num mesmo  $\omega$  não são independentes.
- O valor de  $Y_1$  dá informação sobre o valor de  $Y_2$ .
- Como assim?
- Vamos ser mais específicos...

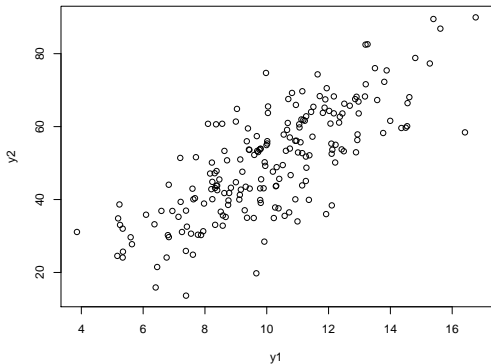


Figura: Amostra de normal bivariada

# Distribuição de Y DADO QUE $Y_1 = 14$ ?

- Qual a distribuição de  $Y_2$  DADO QUE  $Y_1 = 14$ ?
- O que podemos dizer do valor esperado de  $Y_2$  DADO QUE  $Y_1 = 14$ ?
- Este valor esperado continua igual à esperança marginal  $\mu_2 = 50$ ?

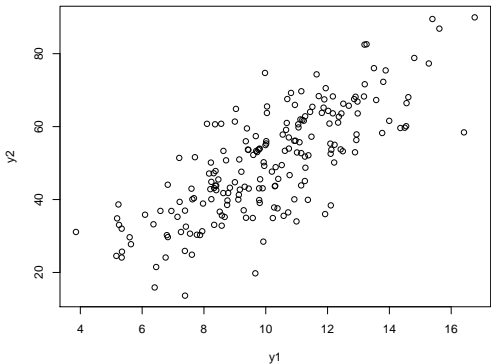


Figura: Amostra de normal bivariada

$$\mathbb{E}(Y_2|Y_1 = 14)$$

- Queremos ter uma ideia de  $\mathbb{E}(Y_2|Y_1 = 14)$ .
- Temos  $\mu_2 = 50$  mas  $\mathbb{E}(Y_2|Y_1 = 14)$  deve ser  $> 50 = \mu_2$
- Qual a sua estimativa para  $\mathbb{E}(Y_2|Y_1 = 14)$  no olhômetro?
- Suponha que um ponto aleatório será escolhido da distribuição CONDICIONAL de  $Y_2$  dados  $Y_1 = 14$ .
- → o ponto estará na linha vertical  $(14, y_2)$ .

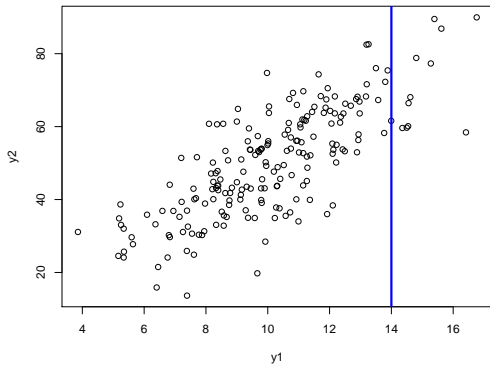


Figura: Amostra de normal bivariada

# Distribuição de $(Y_2|Y_1 = 14)$

- Os pontos  $(y_1, y_2)$  da amostra que possuem  $y_1 \approx 14$  indicam o que deve ser o comportamento probabilístico da v.a.  $Y_2$  DADO que  $Y_1 = 14$ .
- Vemos que  $\mathbb{E}(Y_2|Y_1 = 14) \approx 70$
- Veja que  $70 >> 50 = \mathbb{E}(Y_2) = \mu_2$ .
- $\mu_2$  é a esperança MARGINAL de  $Y_2$ .
- A esperança condicional  $\mathbb{E}(Y_2|Y_1 = 14)$  é bem maior que a marginal  $\mathbb{E}(Y_2)$ .

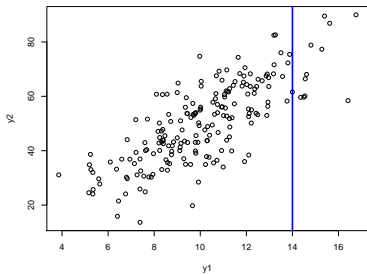


Figura: Amostra de normal bivariada

# Distribuição de $(Y_2|Y_1 = 14)$

- Se  $\mathbb{E}(Y_2|Y_1 = 14) \approx 70$ , quanto é  $\sqrt{\mathbb{V}(Y_2|Y_1 = 14)}$ ?
- Olhando os pontos  $(y_1, y_2)$  que possuem  $y_1 \approx 14$ , qual o tamanho médio dos desvios de  $Y_2$  EM TORNO DE SUA ESPERANÇA  $\mathbb{E}(Y_2|Y_1 = 14) \approx 70??$
- Os pontos estão no intervalo de  $[50, 80]$  grosseiramente.
- Eu chutaria (ou estimaria) que  $\sqrt{\mathbb{V}(Y_2|Y_1 = 14)} \approx (80 - 30)/4 = 7.5$
- Veja que  $7.5 << 15 = \sqrt{\mathbb{V}(Y_2)}$ , que é o DP marginal de  $Y_2$ .

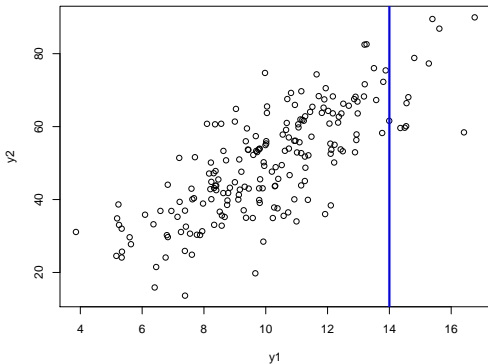


Figura: Amostra de normal bivariada

# Dos momentos para a distribuição

- Estes são os dois primeiros MOMENTOS condicionais da v.a.  $Y_2|Y_1 = 14$ , a esperança e variância condicionais.
- Eles são RESUMOS da distribuição de probabilidade de  $Y_2|Y_1 = 14$ .
- E qual é a distribuição de probabilidade de  $Y_2|Y_1 = 14$ ?
- Normal? Gama? Uniforme?
- É UMA NORMAL.
- Isto é,  $(Y_2|Y_1 = 14) \approx N(70, 7.5^2)$

# Dos momentos para a distribuição

- E que tal  $Y_2|Y_1 = y$  com  $y$  genérico?
- Conseguimos obter uma fórmula geral para expressar qual é esta distribuição genérica.
- Ela depende do coeficiente de correlação  $\rho$  que neste exemplo vale  $\rho = 0.8$ .
- Temos

$$(Y_2|Y_1 = y) \sim N(\mu_{Y_2|Y_1=y}, \sigma_{Y_2|Y_1=y}^2)$$

com

$$\mu_{Y_2|Y_1=y} = \mu_2 + \frac{\rho\sigma_2}{\sigma_1}(y - \mu_1)$$

e

$$\sigma_{Y_2|Y_1=y} = \sigma_2 \sqrt{1 - \rho^2}$$

- Por exemplo, com  $y_2 = 14$  temos

$$\mu_{Y_2|Y_1=14} = \mu_2 + \frac{\rho\sigma_2}{\sigma_1}(14 - \mu_1) = 50 + \frac{0.8 * 15}{2.5}(14 - 10) = 69.2$$

e

$$\sigma_{Y_2|Y_1=y} = \sigma_2 \sqrt{1 - \rho^2} = 15 \sqrt{1 - 0.8^2} = 9$$

e portanto

$$(Y_2|Y_1 = 14) \sim N(69.2, 9^2)$$

# Como sabemos essa fórmula?

- Fazendo o cálculo matemático da densidade condicional:

$$f_{Y_2|Y_1}(y_2|y_1 = a) = \frac{f_Y(a, y_2)}{f_{Y_1}(a)}$$

a partir da densidade conjunta da normal bivariada.

- Para entender esta importante expressão, vamos começar definindo a matriz  $2 \times 2$  simétrica de covariância  $\Sigma$  dada por

$$\Sigma = \begin{bmatrix} \sigma_x^2 & \rho\sigma_x\sigma_y \\ \rho\sigma_x\sigma_y & \sigma_y^2 \end{bmatrix}$$

- onde  $\rho \in [-1, 1]$  e  $\sigma_x$  e  $\sigma_y$  são os desvios padrões de cada marginal.

# Como sabemos essa fórmula?

- Seja o vetor-COLUNA  $2 \times 1$  das esperanças marginais:

$$\boldsymbol{\mu} = (\mu_1, \mu_2)' = (\mathbb{E}(Y_1), \mathbb{E}(Y_2))$$

- A fórmula geral de uma normal bivariada é igual a

$$f_{\mathbf{Y}}(\mathbf{y}) = \text{cte} \times \exp \left( -\frac{1}{2} d^2(\mathbf{y}, \boldsymbol{\mu}) \right)$$

onde  $d^2(\mathbf{y}, \boldsymbol{\mu})$  é uma medida de distância entre o ponto  $\mathbf{y}$  e o vetor esperado  $\boldsymbol{\mu}$ .

- Esta medida de distância é MUITO importante e não é a distância euclidiana:

$$d^2(\mathbf{y}, \boldsymbol{\mu}) = (\mathbf{y} - \boldsymbol{\mu})' \boldsymbol{\Sigma}^{-1} (\mathbf{y} - \boldsymbol{\mu})$$

Vamos estudá-la a seguir.

## Resumo: densidade de normal multivariada

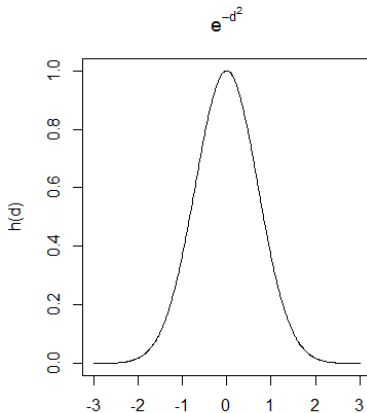
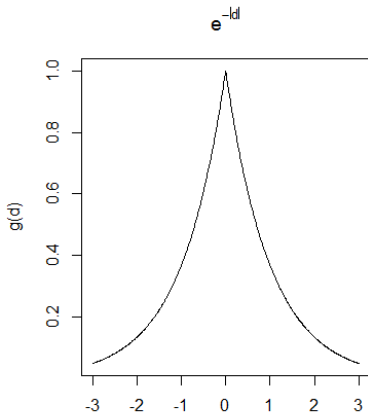
- Em resumo, um vetor normal multivariado tem uma densidade conjunta que é proporcional à exponencial de MENOS uma medida de distância ao quadrado.

$$f_{\mathbf{Y}}(\mathbf{y}) = \text{cte} \times \exp\left(-\frac{1}{2} d^2(\mathbf{y}, \boldsymbol{\mu})\right)$$

- Densidade decai exponencialmente à medida que a distância AO QUADRADO entre  $\mathbf{y}$  e  $\boldsymbol{\mu}$  aumenta.

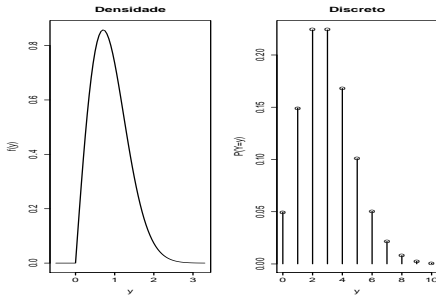
# Decaimento exponencial

- Veja o efeito de decair exponencialmente e de decair com exponencialmente AO QUADRADO.
- Decai mais depressa com a distância e o pico é mais suave



# Resumos teóricos

- Considere uma única variável aleatória  $Y$ .
- Sua distribuição de probabilidade fica determinada por:
  - **Caso Contínuo:** função densidade de probabilidade  $f(y)$
  - **Caso Discreto:** função de probabilidade  $p(y) = \mathbb{P}(Y = y)$

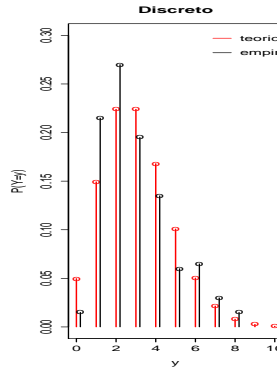
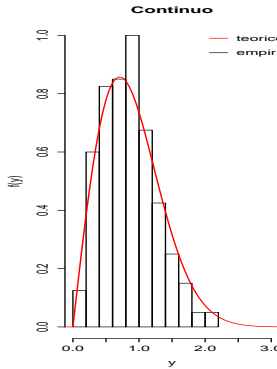


## Resumos teóricos

- Podemos **resumir** a sua distribuição de probabilidade com os resumos numéricos (e teóricos) esperança  $\mathbb{E}(Y)$  e desvio-padrão  $DP_Y = \sqrt{\mathbb{V}(Y)}$ .
- Os resumos  $\mathbb{E}(Y)$  e  $DP_Y = \sqrt{\mathbb{V}(Y)}$  não DEPENDEM de dados estatísticos.
- São resultados de cálculos matemáticos e resumem a DISTRIBUIÇÃO teórica de uma v.a.
- Vamos agora passar a olhar DADOS ESTATÍSTICOS.
- Suponha que temos uma amostra aleatória de  $Y$ .
- Isto é, v.a.'s  $Y_1, Y_2, \dots, Y_n$  i.i.d. com a mesma distribuição que  $Y$ .
- Estes  $n$  números ficam numa das colunas de nossa tabela de dados.

# Resumos empíricos, a partir dos dados

- Para ter uma idéia de TODA A distribuição de probabilidade de  $Y$ :
  - Caso Contínuo:** **histograma.** A altura do histograma em  $y$  é  $\approx f(y)$ .
  - Caso Discreto:** **gráfico de barras** com as frequências empíricas  $n_k/n$  onde  $n_k$  é o número de elementos da amostra iguais a  $k$ . Temos  $n_k/n \approx \mathbb{P}(Y = k)$ .



## Contraparte empírica dos resumos

- Podemos ESTIMAR os resumos TEÓRICOS  $\mathbb{E}(Y)$  e  $\sigma = DP_Y = \sqrt{\mathbb{V}(Y)}$  a partir dos dados.
- Pela Lei dos Grandes Números, se o tamanho  $n$  da amostra é grande, temos
  - A média aritmética  $\bar{Y} = (Y_1 + \dots + Y_n) / n \approx \mathbb{E}(Y)$
  - O DP amostral  $S = \sqrt{\sum_i (Y_i - \bar{Y})^2 / n} \approx \sigma$
- Às vezes, define-se  $S$  usando  $n - 1$  no denominador. A diferença é mínima a não ser que  $n$  seja muito pequeno.
- Note que  $\bar{Y} \neq \mathbb{E}(Y)$
- E que  $S \neq \sigma$
- $\bar{Y}$  e  $S$  dependem dos dados e variam de amostra para amostra, MESMO QUE O MECANISMO GERADOR DOS DADOS NÃO MUDE.

# Desvio padronizado

- Um **desvio** em relação a  $\mu = \mathbb{E}(Y)$ : é a v.a.  $Y - \mu$
- **Desvio padronizado:**  $Z = (Y - \mu)/\sigma$
- Desvio padronizado é medido relativamente ao desvio-padrão  $\sigma$  da v.a.  $Y$ .
- Um desvio padronizado  $Z = 2$  significa um afastamento de 2 DPs em relação a  $\mu$
- Qualquer que seja a distribuição de  $Y$ , termos  $Z > 4$  é muito raro (pela desigualdade de Tchebyshev).

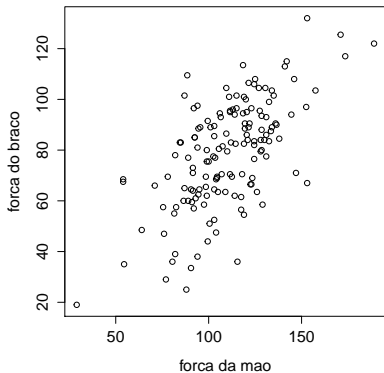
## Duas variáveis

- Como medir a associação entre duas variáveis  $Y_1$  e  $Y_2$  medidas num MESMO item.
- Estas variáveis poderiam ser qualquer par de colunas da nossa tabela de dados.
- Seja  $Z_1 = (Y_1 - \mu_1)/\sigma_1$  o desvio padronizado de  $Y_1$
- e  $Z_2 = (Y_2 - \mu_2)/\sigma_2$  o desvio padronizado de  $Y_2$
- Quando  $Z_1$  é grande existe alguma TENDÊNCIA de também termos  $Z_2$  grande?
- Se sim, diremos que  $Y_1$  e  $Y_2$  possuem um grau de associação ou correlação.
- Como formalizar este conceito?

## Duas variáveis

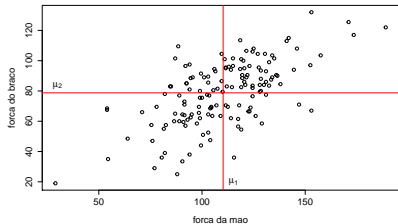
- Vamos começar com a versão EMPÍRICA da associação.
- Amostra de 147 pessoas (os itens) trabalhando em ocupações fisicamente demandantes.
- Em cada item, medimos o par de variáveis ( $Y_1, Y_2$ ).
- $Y_1$  é a força do aperto de mão (ou *grip strength*)
- $Y_2$  é a força do braço (ou *arm strength*)

## Duas variáveis: scatterplot



**Figura:** Relação entre força de preensão (do aperto de mão) e força do braço para 147 pessoas que trabalham em empregos fisicamente extenuantes.

## Duas variáveis: scatterplot



**Figura:** Linhas verticais indicando aproximadamente  $\mu_1$  e  $\mu_2$ . A maioria dos pontos está nos quadrantes 1 e 3. Quando  $Z_1 > 0$ , em geral, temos  $Z_2 > 0$ .

## Produto dos desvios

- Existem várias formas intuitivas de medir a associação entre  $Y_1$  e  $Y_2$ .
- Uma forma não intuitiva mas que tem excelentes propriedades teóricas é o índice de correlação de Pearson.
- Considere o produto dos desvios padronizados:

$$Z_1 Z_2 = \frac{Y_1 - \mu_1}{\sigma_1} \times \frac{Y_2 - \mu_2}{\sigma_2}$$

- Se desvios grandes e positivos de  $Y_1$  tendem a ocorrer com desvios grandes e positivos de  $Y_2$ , seu produto será maior ainda.
- Ao mesmo tempo, se os desvios grandes e negativos de  $Y_1$  tendem a ocorrer com desvios grandes e positivos de  $Y_2$ , seu produto será maior ainda.

# Produto dos desvios

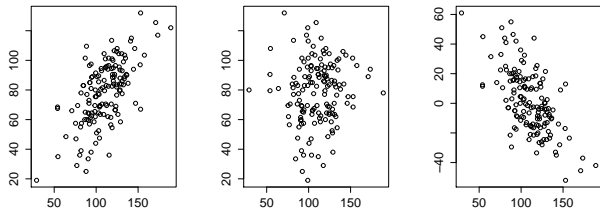


Figura: Tipicamente, em média, o produto dos desvios padronizados  $Z_1Z_2$  é positivo (esquerda), próximo de zero (centro) e negativo (direita).

# Natureza de $Z_1 Z_2$

- $(Y_1, Y_2)$  é um vetor aleatório: duas v.a.'s são medidas no mesmo item.
- Considere

$$Z_1 Z_2 = \frac{Y_1 - \mu_1}{\sigma_1} \times \frac{Y_2 - \mu_2}{\sigma_2}$$

- O que é  $\mu_1$ ? Uma constante? Uma v.a.?
- O mesmo vale para  $\mu_2$ ,  $\sigma_1$  e  $\sigma_2$ .
- E o produto  $Z_1 Z_2$ ?
- É uma constante?
- Uma v.a.?

# Correlação

- O produto  $Z_1 Z_2$  é uma v.a. !!
- Como resumir esta v.a. num único número?
- Já sabemos fazer isto com QUALQUER v.a.: tome o seu valor esperado.
- Isto é, vamos calcular

$$\rho = \text{Corr}(Y_1, Y_2) = \mathbb{E}(Z_1 Z_2) = \mathbb{E}\left(\frac{Y_1 - \mu_1}{\sigma_1} \times \frac{Y_2 - \mu_2}{\sigma_2}\right)$$

- Este resumo é o índice de correlação de Pearson.

## Propriedades de $\rho$

- $\rho$  está SEMPRE entre -1 e 1.
- Esta é uma das razões para usar  $\rho$  como medida de associação entre  $Y_1$  e  $Y_2$ : uma escala fixa em qualquer problema.
- Além disso, pela definição,

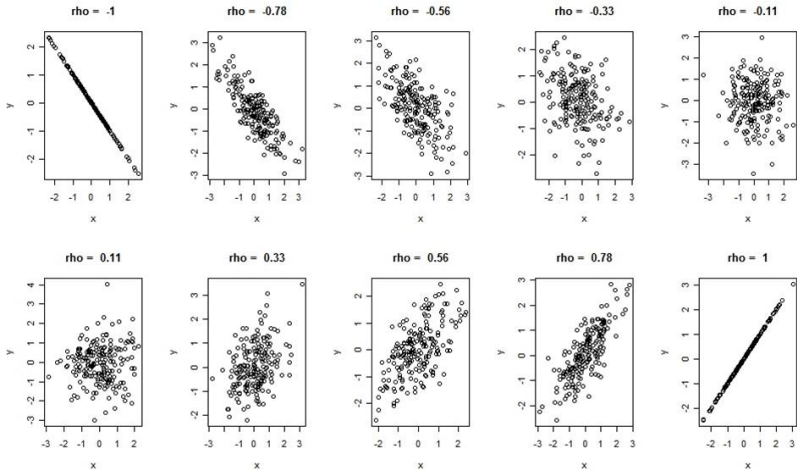
$$\text{Corr}(Y_1, Y_2) = \mathbb{E}(Z_1 Z_2) = \text{Corr}(Y_2, Y_1)$$

- Também temos que  $\text{Corr}(Y, Y) = 1$ : a correlação de uma v.a. consigo mesma é 1.

# Propriedades de $\rho$

- Se  $Y_1$  é uma v.a. independente da v.a.  $Y_2$  então  $\rho = 0$ .
- Neste caso, uma amostra de valores do vetor  $(Y_1, Y_2)$  formará um gráfico de dispersão com forma indistinta, uma nuvem sem inclinação.
- Se  $\rho \approx \pm 1$  então  $Y_2$  é aproximadamente uma função linear perfeita de  $Y_1$ .
- Isto é, uma amostra de valores do vetor  $(Y_1, Y_2)$  formará uma gráfico de dispersão na forma aproximada de uma linha reta.

# Amostras do vetor $(Y_1, Y_2)$ com diferentes $\rho$



# Correlation Matrix

- Correlação é uma medida de associação entre DUAS v.a.'s
- E quando tivermos  $p$  v.a.'s simultaneamente, todas medidas no mesmo item?
- Suponha que tenhamos um vetor  $(Y_1, Y_2, \dots, Y_p)$  de v.a.'s
- Podemos fazer uma matriz  $p \times p$  de correlação.
- Na posição  $(i, j)$  teremos

$$\rho_{ij} = \text{Corr}(Y_i, Y_j) = \mathbb{E} \left( \frac{Y_i - \mu_i}{\sigma_i} \times \frac{Y_j - \mu_j}{\sigma_j} \right)$$

- Como  $\text{Corr}(Y_i, Y_j) = \text{Corr}(Y_j, Y_i)$  a matriz é simétrica.
- E como  $\text{Corr}(Y_i, Y_i) = 1$  a diagonal principal é toda de 1's.

## Exemplo: Correlation Matrix

- Temos um vetor aleatório ( $Y_1, Y_2, \dots, Y_9$ ).
- As 9 variáveis aleatórias são escores obtidos em 9 testes de habilidade cognitiva, todos aplicados num mesmo indivíduo.
- As v.a.'s são as seguintes:
  - 3 v.a.'s medindo habilidade verbal: Word Meaning, Sentence Completion, and Odd words;
  - 3 v.a.'s medindo habilidade quantitativa: Mixed Arithmetic, Remainders, and Missing numbers;
  - 3 v.a.'s medindo habilidade espacial: Gloves, Boots, and Hatchets.
- Como poderia ser a matriz de correlação  $9 \times 9$  entre estas v.a's?

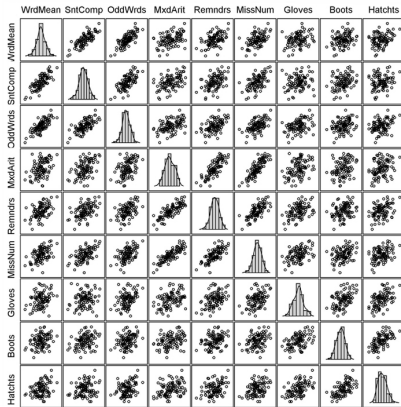
# Matriz de correlação $9 \times 9$

Variable	1	2	3	4	5	6	7	8	9
WrMean	1								
SntComp	0.75	1							
OddWrds	0.78	0.72	1						
MxdArit	0.44	0.52	0.47	1					
Remndrs	0.45	0.53	0.48	0.82	1				
MissNum	0.51	0.58	0.54	0.82	0.74	1			
Gloves	0.21	0.23	0.28	0.33	0.37	0.35	1		
Boots	0.30	0.32	0.37	0.33	0.36	0.38	0.45	1	
Hatchts	0.31	0.30	0.37	0.31	0.36	0.38	0.52	0.67	1

*WrMean, word meaning; SntComp, sentence completion; OddWrds, odd words;  
MxdArit, mixed arithmetic; Remndrs, remainders; MissNum, missing numbers,  
Hatchts, hatchets.*

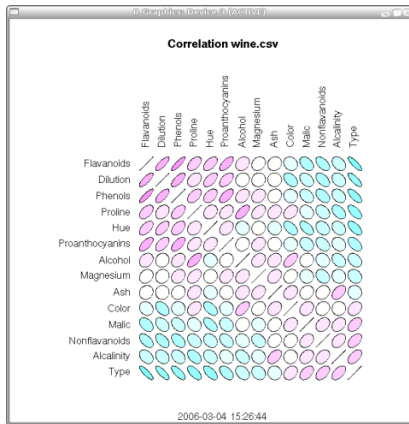
**Figura:** Correlações entre pares formados a partir de 9 medidas feitas num mesmo indivíduo em um teste de personalidade

# Visualizando a matriz de correlação



**Figura:** Amostra de 244 indivíduos e scatterplots dos pares de suas 9 medidas no teste de habilidade cognitiva

# Visualizando outra matriz de correlação



**Figura:** A partir de dados amostrais mostra-se o FORMATO da nuvem de pontos de uma amostra de VINHOS com 14 variáveis medidas em cada um dos vinhos.  
Gráfico em R + rattle

# Mais uma visualização

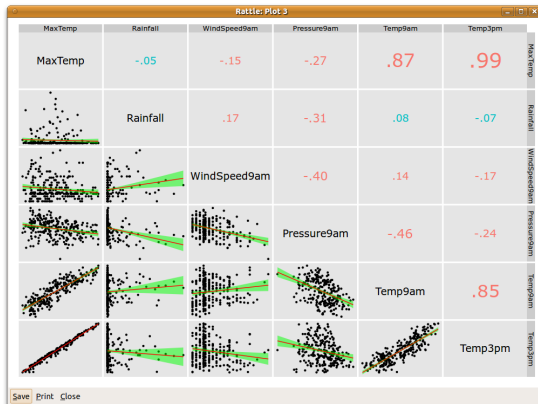
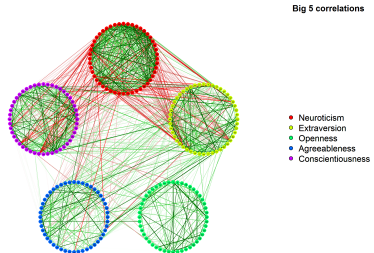


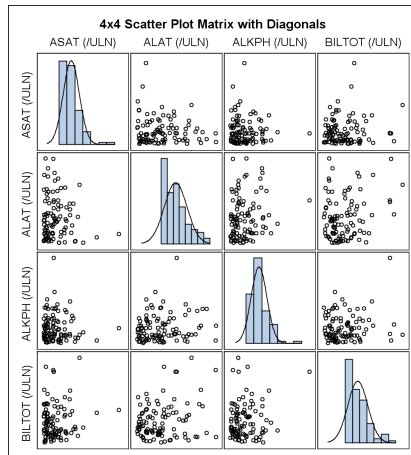
Figura: Mais uma visualização com R + rattle

# Uma visualização com MUITAS v.a.'s: rede



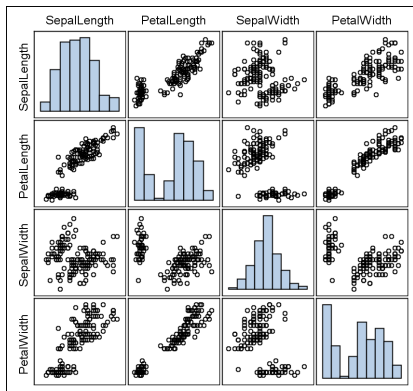
**Figura:** Uma visualização com qgraph: v.a.'s são vértices e correlações são arestas. Verde = correlação positiva e vermelha = negativa. As arestas mais grossas e saturadas tem  $|\rho|$  grande.

# Nem sempre, os gráficos são simples



**Figura:** Scatterplot matrix of 4 lab variables to test liver functioning commonly used in clinical research

# Misturas de diferentes populações



**Figura:** Scatterplot matrix de 4 variáveis medidas numa flor: comprimento de pétala, largura de pétala, comprimento de sétala, largura de sétala. Três espécies distintas misturadas. Relação entre as variáveis é diferente, ela depende da espécie.

## Propriedades de $\rho$

- Se  $\rho = -1$  ou  $\rho = +1$ , podemos predizer o valor de  $Y_2$  como função linear de  $Y_1$ , sem erro, de forma perfeita.
- Isto é, se  $\rho = \pm 1$ , temos  $Y_2 = \alpha + \beta Y_1$
- Se  $\rho = 0$  pode acontecer que  $Y_1$  seja fortemente relacionada a  $Y_2$  de uma forma não-linear. São casos raros na prática.

## Propriedades de $\rho$

- $\rho$  é invariante por mudança linear de escala.
- Por ex,  $Y_1$  é o estoque de café num certo mês e  $Y_2$  é o preço do café em reais no mesmo mês.
- Seja  $\rho = \text{Corr}(Y_1, Y_2)$ .
- Suponha que outra variável seja usada: o preço  $Y_3$  do café em dólares e que  $Y_3 = 2.3Y_2$ .
- Neste caso,

$$\text{Corr}(Y_1, Y_3) = \text{Corr}(Y_1, 2.3Y_2) = \text{Corr}(Y_1, Y_2)$$

- Do mesmo modo, se medirmos em graus centígrados ( $Y_2$ ) ou em graus Farenheit ( $Y_3 = 32 + 1.8Y_2$ ), a correlação com outra variável  $Y_1$  é

$$\text{Corr}(Y_1, Y_3) = \text{Corr}(Y_1, 32 + 1.8Y_2) = \text{Corr}(Y_1, Y_2)$$

## Estimando $\rho$

- $\rho$  é um resumo teórico da distribuição CONJUNTA de duas v.a.'s
- Ele não depende de dados para ser obtido, é uma conta matemática.
- Relembre a definição:

$$\rho = \text{Corr}(Y_1, Y_2) = \mathbb{E} \left( \frac{Y_1 - \mu_1}{\sigma_1} \times \frac{Y_2 - \mu_2}{\sigma_2} \right)$$

- Precisa de  $\mu_1 = \mathbb{E}(Y_1)$ ,  $\sigma_1^2 = \mathbb{V}(Y_1)$ , etc.
- Em seguida precisa calcular (usando teoria de probabilidade) o valor esperado do produto dos desvios.
- Para várias distribuições, esta conta matemática é inviável (não-analítica).
- No entanto, com dados, podemos estimar  $\rho$ .

## Estimando $\rho$

- Como  $\bar{Y} \approx \mathbb{E}(Y)$
- e como  $S = \sqrt{\sum_i (Y_i - \bar{Y})^2 / n} \approx \sigma$
- podemos aproximar

$$\rho = \mathbb{E} \left( \frac{Y_1 - \mu_1}{\sigma_1} \times \frac{Y_2 - \mu_2}{\sigma_2} \right) \approx \mathbb{E} \left( \frac{Y_1 - \bar{Y}_1}{S_1} \times \frac{Y_2 - \bar{Y}_2}{S_2} \right)$$

- onde  $\bar{Y}_1$  é a média aritmética dos  $n$  valores da variável 1, etc.
- é,  $\bar{Y}_1$  é média aritmética da coluna associada com a variável 1 na tabela de dados.
- Mas ainda precisaríamos calcular uma esperança matemática que é inviável na maioria das distribuições.

# Desvio padronizado empírico

- Solução: calcule o desvio realizado de cada um dos  $n$  valores das duas variáveis.
- Para a variável 1 com os  $n$  valores  $y_{11}, \dots, y_{n1}$  da coluna 1 da tabela, calcule a nova coluna formada por

$$z_{i1} = \frac{y_{i1} - \bar{y}_1}{s_1}$$

- Faça o mesmo para a coluna 2, criando uma outra coluna de desvios padronizados empíricos:

$$z_{i2} = \frac{y_{i2} - \bar{y}_2}{s_2}$$

- A seguir, multiplique as duas colunas de desvios padronizados e tire a sua média aritmética calculando

$$r = \frac{1}{n} \sum_{i=1}^n z_{i1} z_{i2} = \frac{1}{n} \sum_{i=1}^n \left( \frac{y_{i1} - \bar{y}_1}{s_1} \right) \left( \frac{y_{i2} - \bar{y}_2}{s_2} \right)$$

## Pressão sistólica

- A pressão sistólica mede a força do sangue nas artérias, à medida que o coração contrai para impulsionar o sangue através do corpo.
- Se alta, ela pode levar a doença de coração, angina e doenças vasculares nas pernas.
- Pressao sistólica saudável: entre 120 e 140 mm Hg
- Pressão sistólica  $> 140$  mm Hg: não saudável
- Pressão diastólica: deve ficar em torno de 80.
- Acima de 100 não é saudável.

# Pressão sistólica e diastólica em amostra

- Amostra de 250 indivíduos (instâncias)
- Pressão em duas medições (atributos):
  - Diastólica
  - sistólica
- Como fica o gráfico dos atributos dessas 250 instâncias?

# Pressão de 250 indivíduos

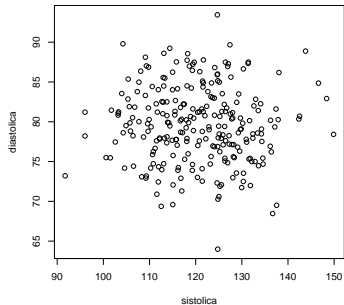


Figura: Amostra de  $(y_{i1}, y_{i2})$  com  $i = 1, 2, \dots, 250$ .

## Médias para referência

- 250 instâncias do vetor aleatório:  $\mathbf{Y} = (Y_1, Y_2)$
- Vetor com os valores esperados de cada variável do vetor:

$$\mathbb{E}(\mathbf{Y}) = \mathbb{E}(Y_1, Y_2) = (\mathbb{E}(Y_1), \mathbb{E}(Y_2)) = (\mu_1, \mu_2) = \boldsymbol{\mu}$$

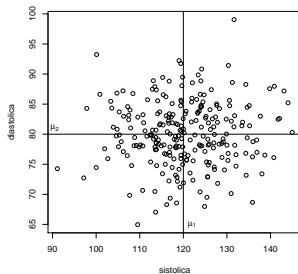
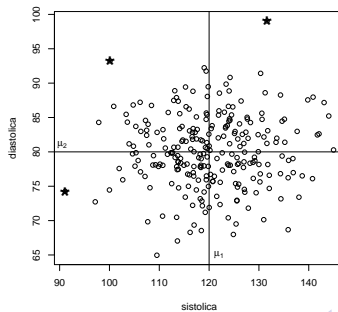


Figura: Amostra de  $(y_{i1}, y_{i2})$  com  $i = 1, 2, \dots, 250$ .

# Quem está distante do centro?

- Centro  $\mu = (\mu_1, \mu_2)$  é o perfil esperado ou típico.
- Quem está longe do perfil típico? Quem é anômalo?
- Medida baseada na distância euclidiana  
$$d(y_1, y_2) = \sqrt{(y_1 - 120)^2 + (y_2 - 80)^2}$$
- É razoável?



## Exagerando um pouco...

- E se o segundo atributo for assim? Fazendo o aspecto/raio = 1.
- Centro  $\mu = (\mu_1, \mu_2)$  continua o mesmo.
- Mas quem está distante do centro agora? Quem é anômalo?

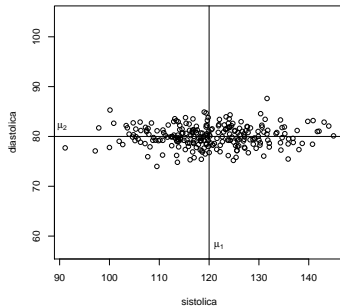


Figura: Amostra de  $(y_{i1}, y_{i2})$  com  $i = 1, 2, \dots, 250$ .

# Distantes são óbvios, não?

- Mas qual é a medida de distância que estamos usando implicitamente, sem nem mesmo perceber?
- Não é a distância euclidiana!

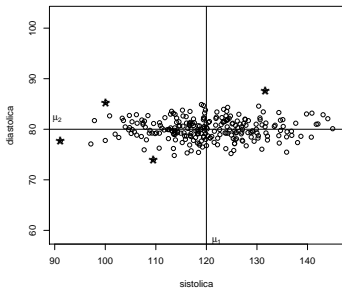
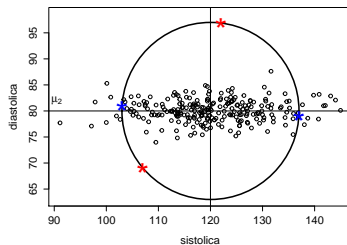


Figura: Amostra de  $(y_{i1}, y_{i2})$  com  $i = 1, 2, \dots, 250$ .

# Pontos à igual distância?

- Todos os pontos do círculo estão à mesma distância euclidiana do centro da nuvem de pontos.
- Queremos os dois pontos em vermelho à igual distância ESTATÍSTICA do centro que os pontos em azul?
- NÃO!!! Pontos vermelhos estão ESTATISTICAMENTE muito mais distantes do centro ( $\mu_1, \mu_2$ ) do que os pontos azuis.



## Pontos vermelhos mais distantes

- Como fazer os pontos vermelhos mais distantes que os pontos azuis?
- Andar poucas unidades na direção norte-sul te leva para fora da nuvem de pontos (vira anomalia).
- Precisa andar MAIS unidades na direção leste-oeste para sair fora da nuvem de pontos.

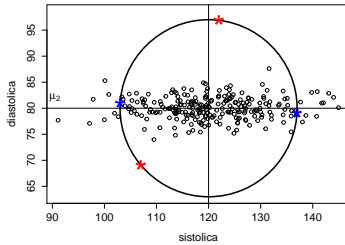
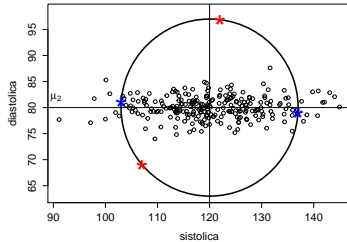


Figura: Amostra de  $(y_{i1}, y_{i2})$  com  $i = 1, 2, \dots, 250$ .

# Pontos vermelhos mais distantes

- Então  $N$  unidades eucidianas na direção leste-oeste VALEM O MESMO que  $N/k$  na direção norte-sul (onde  $k > 1$ ).
- Como achar este  $k$ ?
- Como equalizar as distâncias?
- RESPOSTA: Medindo distâncias em unidades de DESVIOS-PADRÃO.



**Figura:** Amostra de  $(y_{i1}, y_{i2})$  com  $i = 1, 2, \dots, 250$ .

# Medida de dispersão

- Desvio-padrão DP: um para cada eixo, um DP para cada atributo.
- DP mede quanto, em média, um atributo aleatório desvia-se de seu valor esperados
- Por exemplo,  $DP = 10$  significa:
  - Em geral, observações desviam-se de 10 unidades em torno de seu valor esperado
  - Às vezes mais de 10 unidades; às vezes, menos de 10 unidades
  - Em média, um afastamento de 10 unidades: isto é o DP.

# Qual o desvio padrão de cada variável?

- Centro  $\mathbb{E}(\mathbf{Y}) = \mu = (\mu_1, \mu_2) = (120, 80)$
- $DP_1 = \sigma_1 = ??$
- $DP_2 = \sigma_2 = ??$

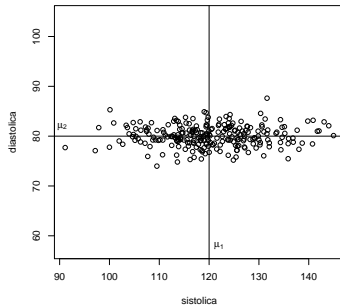


Figura: Amostra de  $(y_{i1}, y_{i2})$  com  $i = 1, 2, \dots, 250$ .

# Qual o desvio padrão de cada variável?

- Centro  $\mathbb{E}(\mathbf{Y}) = \mu = (\mu_1, \mu_2) = (120, 80)$
- $DP_1 = \sigma_1 = 10$
- $DP_2 = \sigma_2 = 2$

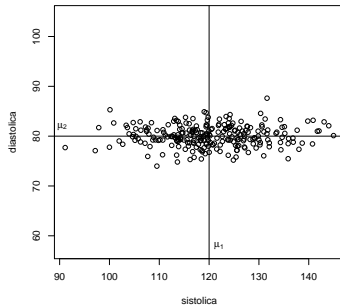
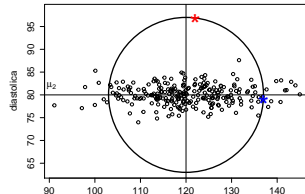


Figura: Amostra de  $(y_{i1}, y_{i2})$  com  $i = 1, 2, \dots, 250$ .

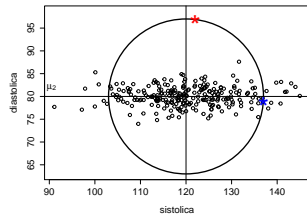
## Distância medida em DP

- $(\mu_1, \mu_2) = (120, 80)$  e  $(\sigma_1, \sigma_2) = (10, 2)$
- AZUL: afastou-se do centro apenas ao longo do eixo 1 e afastou-se 15 unidades ou  $1.5\sigma_1$ )
- VERMELHO: afastou-se do centro apenas ao longo do eixo 2 e afastou-se 15 unidades ou  $7.5\sigma_2$ )
- O ponto VERMELHO está muito mais distante do centro em termos de DPs.
- Mas como fazer com pontos que afastam-se do centro não somente ao longo de um dos eixos?



# Distância medida em DP

- $(\mu_1, \mu_2) = (120, 80)$  e  $(\sigma_1, \sigma_2) = (10, 2)$
- Andar  $n\sigma_1$  ao longo do eixo 1 É EQUIVALENTE a andar  $n\sigma_2$  no eixo 2.
- Por exemplo, 20 unidades ao longo do eixo 1 (ou  $2\sigma_1$ ) é ESTATISTICAMENTE EQUIVALENTE a 4 unidades ao (ou  $2\sigma_2$ ) longo do eixo 2.



**Figura:** Amostra de  $(y_{i1}, y_{i2})$  com  $i = 1, 2, \dots, 250$ .

# Distância medida em DP

- Vamos medir o desvio em cada eixo EM UNIDADES DE SEU DESVIO-PADRÃO e calcular a distância com estes desvios padronizados.
- DESVIO PADRONIZADO ao longo do eixo 1:  $z_1 = \frac{y_1 - \mu_1}{\sigma_1} = \frac{y_1 - 120}{10}$
- DESVIO PADRONIZADO ao longo do eixo 2:  $z_2 = \frac{y_2 - \mu_2}{\sigma_2} = \frac{y_2 - 80}{2}$
- Distância:

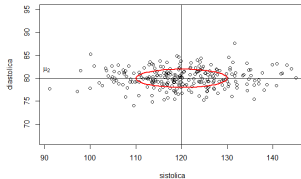
$$\begin{aligned}
 d(\mathbf{y}, \boldsymbol{\mu}) &= \sqrt{z_1^2 + z_2^2} \\
 &= \sqrt{\left(\frac{y_1 - 120}{10}\right)^2 + \left(\frac{y_2 - 80}{2}\right)^2} \\
 &= \sqrt{\left(\frac{y_1 - \mu_1}{\sigma_1}\right)^2 + \left(\frac{y_2 - \mu_2}{\sigma_2}\right)^2}
 \end{aligned}$$

# Pontos a igual distância

- NESTA NOVA MÉTRICA, quais os pontos  $(y_1, y_2)$  que estão a uma MESMA distância do centro  $(\mu_1, \mu_2)$ ?
- Tome uma distância fixa (por exemplo, 1).
- Eles formam uma ELIPSE centrada em  $(\mu_1, \mu_2)$  e com eixos paralelos aos eixos coordenados.

$$d(\mathbf{y}, \boldsymbol{\mu}) = \sqrt{\left(\frac{y_1 - 120}{10}\right)^2 + \left(\frac{y_2 - 80}{2}\right)^2} = 1$$

- Os pontos que satisfazem a equação acima formam uma elipse (esta é a equação de uma elipse).



## Tamanhos dos eixos

- Distância  $c > 0$  do centro: pontos satisfazem a equação

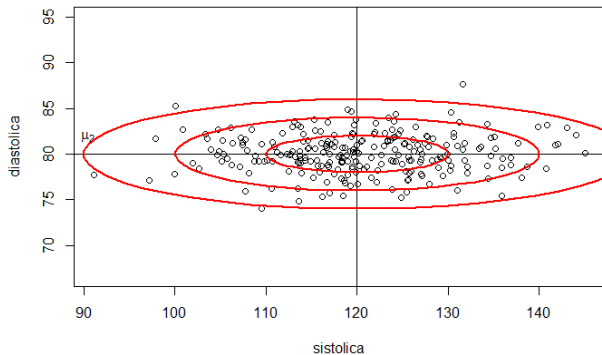
$$d(\mathbf{y}, \boldsymbol{\mu}) = \sqrt{\left(\frac{y_1 - 120}{10}\right)^2 + \left(\frac{y_2 - 80}{2}\right)^2} = c$$

- Os eixos têm comprimentos iguais a  $c\sigma_1$  e  $c\sigma_2$ . O eixo maior da elipse: variável com maior DP.
- Quantas vezes maior é o eixo maior em relação ao eixo menor?
- Se  $\sigma_1$  é o maior DP,

$$\frac{\text{eixo maior}}{\text{eixo menor}} = \frac{c\sigma_1}{c\sigma_2} = \frac{\sigma_1}{\sigma_2}$$

- Não depende da distância  $c$ : variando  $c$ , teremos elipses concêntricas.

# Variando a distância



**Figura:** Pontos  $(y_1, y_2)$  que estão a uma distância  $c$  igual a 1, 2 ou 3 do centro  $(\mu_1, \mu_2)$ . Isto é, os pontos de cada elipse satisfazem  $d(\mathbf{y}, \boldsymbol{\mu}) = c$  para diferentes  $c$ 's.

# Jogando fora a raiz quadrada

- Preferimos trabalhar com a distância AO QUADRADO
- E se podemos complicar, por quê simplificar?

$$\begin{aligned}
 d^2(\mathbf{y}, \boldsymbol{\mu}) &= \left( \frac{y_1 - \mu_1}{\sigma_1} \right)^2 + \left( \frac{y_2 - \mu_2}{\sigma_2} \right)^2 \\
 &= (y_1 - \mu_1, y_2 - \mu_2) \begin{bmatrix} 1/\sigma_1^2 & 0 \\ 0 & 1/\sigma_2^2 \end{bmatrix} \begin{pmatrix} y_1 - \mu_1 \\ y_2 - \mu_2 \end{pmatrix} \\
 &= (y_1 - \mu_1, y_2 - \mu_2) \begin{bmatrix} \sigma_1^2 & 0 \\ 0 & \sigma_2^2 \end{bmatrix}^{-1} \begin{pmatrix} y_1 - \mu_1 \\ y_2 - \mu_2 \end{pmatrix} \\
 &= \begin{pmatrix} y_1 - \mu_1 \\ y_2 - \mu_2 \end{pmatrix}' \Sigma^{-1} \begin{pmatrix} y_1 - \mu_1 \\ y_2 - \mu_2 \end{pmatrix} \\
 &= (\mathbf{y} - \boldsymbol{\mu})' \Sigma^{-1} (\mathbf{y} - \boldsymbol{\mu})
 \end{aligned}$$

# Elipses e distâncias

- Vimos que

$$d^2(\mathbf{y}, \boldsymbol{\mu}) = \left( \frac{y_1 - \mu_1}{\sigma_1} \right)^2 + \left( \frac{y_2 - \mu_2}{\sigma_2} \right)^2 = (\mathbf{y} - \boldsymbol{\mu})' \boldsymbol{\Sigma}^{-1} (\mathbf{y} - \boldsymbol{\mu})$$

onde

$$\boldsymbol{\Sigma} = \begin{bmatrix} \sigma_1^2 & 0 \\ 0 & \sigma_2^2 \end{bmatrix}$$

é a equação de uma elipse centrada no vetor  $\boldsymbol{\mu} = (\mu_1, \mu_2)$ .

- Quando a matriz  $\boldsymbol{\Sigma}$  é DIAGONAL com elementos positivos (com as variâncias  $\sigma_i$ 's), então a elipse tem eixos paralelos aos eixos e o tamanho de cada eixo é proporcional ao  $\sigma_i$  da variável associada.

## Caso mais realista

- Variáveis são associadas, não são independentes
- Dizemos que são correlacionadas: redundância da informação
- O valor de uma variável dá informação sobre o valor da variável
- Pode-se predizer (com algum erro) uma variável em função da outra

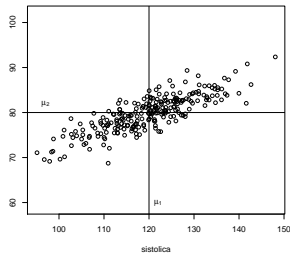
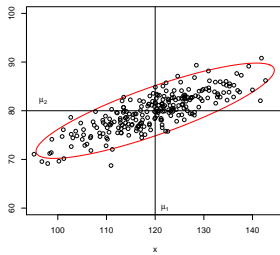


Figura: Amostra de  $(y_{i1}, y_{i2})$  com  $i = 1, 2, \dots, 250$ .

# Distância elíptica, e não circular

- Pelo mesmo raciocínio intuitivo que fizemos antes, os pontos na ELIPSE abaixo tendem a estar a igual distância do perfil esperado  $\mathbb{E}(\mathbf{Y}) = \mu = (\mu_1, \mu_2)$ .
- Pontos estatisticamente equidistantes de  $\mu$  NÃO estão mais numa elipse paralela aos eixos.
- A elipse está inclinada seguindo a associação entre as variáveis.

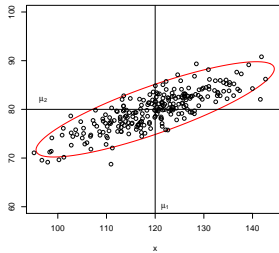


# Forma Quadrática

- Medida de distância é uma FORMA QUADRÁTICA.

$$d^2(\mathbf{y}, \boldsymbol{\mu}) = (\mathbf{y} - \boldsymbol{\mu})' \boldsymbol{\Sigma}^{-1} (\mathbf{y} - \boldsymbol{\mu})$$

- É a mesma expressão matricial de distância que usamos antes MAS...
- ...a matriz  $\boldsymbol{\Sigma}$  não é mais DIAGONAL



**Figura:** Amostra de  $(y_{i1}, y_{i2})$  com  $i = 1, 2, \dots, 250$ .

# Quem é $\Sigma$ ?

- Medida de distância é uma FORMA QUADRÁTICA:

$$d^2(\mathbf{y}, \boldsymbol{\mu}) = (\mathbf{y} - \boldsymbol{\mu})' \boldsymbol{\Sigma}^{-1} (\mathbf{y} - \boldsymbol{\mu})$$

- Matriz  $\boldsymbol{\Sigma}$  é matriz  $2 \times 2$  simétrica chamada de matriz de covariância

$$\boldsymbol{\Sigma} = \begin{bmatrix} \sigma_1^2 & \rho\sigma_1\sigma_2 \\ \rho\sigma_1\sigma_2 & \sigma_2^2 \end{bmatrix}$$

onde  $\rho = \text{Corr}(Y_1, Y_2)$  é o índice de correlação de Pearson entre  $Y_1$  e  $Y_2$ .

- Temos sempre  $-1 \leq \rho \leq 1$ .
- Os elementos fora da diagonal,  $\rho\sigma_1\sigma_2$ , são chamados de Covariância entre  $Y_1$  e  $Y_2$ .
- Costumamos escrever  $\text{Cov}(Y_1, Y_2) = \rho\sigma_1\sigma_2 = \sigma_{12}$

## Relação entre $\sum$ e a elipse

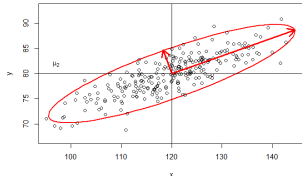
- Distância é

$$d^2(\mathbf{y}, \boldsymbol{\mu}) = (\mathbf{y} - \boldsymbol{\mu})' \boldsymbol{\Sigma}^{-1} (\mathbf{y} - \boldsymbol{\mu})$$

onde a matriz  $\sum$  é  $2 \times 2$  simétrica e dada por

$$\sum = \begin{bmatrix} \sigma_1^2 & \rho\sigma_1\sigma_2 \\ \rho\sigma_1\sigma_2 & \sigma_2^2 \end{bmatrix}$$

- Pontos equidistantes de  $\mu = (\mu_1, \mu_2)$  estão numa elipse.
  - Eixos da elipse: na direção dos AUTOVETORES da matriz  $\Sigma^{-1}$ .
  - O tamanho de cada eixo é proporcional à raiz do AUTOVALOR correspondente.



# Autovetor e autovalor de $\Sigma^{-1}$

- Definição: autovetor de uma matriz quadrada  $A$  é um vetor  $\mathbf{y}$  tal que

$$A \cdot \mathbf{y} = \lambda \mathbf{y}$$

onde  $\lambda$  é uma constante (pode até ser um número complexo).

- A constante  $\lambda$  é chamada de autovalor associado ao autovetor  $\mathbf{y}$ .
- Na nossa situação de distância estatística em que usamos a inversa da matriz de covariância como  $\Sigma^{-1}$  temos dois resultados especiais:
  - sempre temos dois autovetores ORTOGONAIS entre si.
  - autovalores são sempre REAIS E POSITVOS (e portanto podemos tomar sua raiz ou invertê-los).
- Voltaremos a este importante resultado daqui a pouco.

# Autovetores de $\Sigma$ e $\Sigma^{-1}$

- Os autovetores de  $\Sigma$  e  $\Sigma^{-1}$  são os mesmos.
- Prova: Suponha que  $\mathbf{v}$  é autovetor de  $\Sigma$  com autovalor  $\lambda > 0$ :

$$\Sigma \cdot \mathbf{v} = \lambda \mathbf{v}$$

- Multiplique dos dois lados (pela esquerda) por  $\Sigma^{-1}$ :

$$\Sigma^{-1}\Sigma \cdot \mathbf{v} = \Sigma^{-1}(\lambda \mathbf{v})$$

ou seja

$$\mathbf{v} = \lambda \Sigma^{-1} \mathbf{v}$$

ou ainda, como  $\lambda > 0$ ,

$$\frac{1}{\lambda} \mathbf{v} = \lambda \Sigma^{-1} \mathbf{v}$$

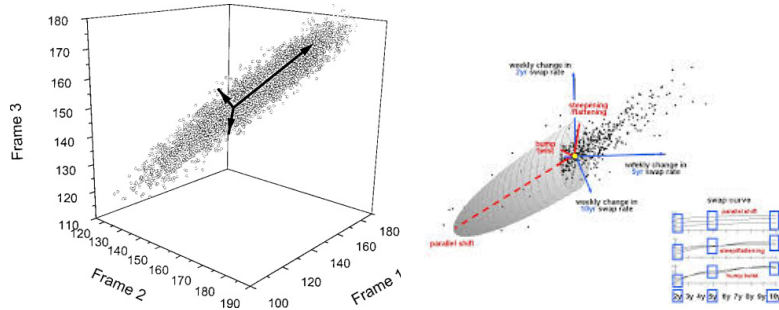
# Distância estatística em $k$ dimensões

- Seja  $\mathbf{Y} = (Y_1, \dots, Y_k)$  um vetor aleatório de dimensão  $k$ .
- Seja  $\boldsymbol{\mu} = (\mu_1, \dots, \mu_k)$  seu VETOR-COLUNA de valores esperados
- Seja  $\Sigma$  a matriz  $k \times k$  com a covariância  $\sigma_{ij} = \rho_{ij}\sigma_i\sigma_j$  onde  $\rho_{ij}$  é a correlação entre  $Y_i$  e  $Y_j$ .
- Distância estatística:

$$d^2(\mathbf{y}, \boldsymbol{\mu}) = (\mathbf{y} - \boldsymbol{\mu})' \boldsymbol{\Sigma}^{-1} (\mathbf{y} - \boldsymbol{\mu})$$

- Pontos equidistantes de  $\boldsymbol{\mu}$  formam um elipsóide em  $k$  dimensões com eixos nas direções dos autovetores de  $\boldsymbol{\Sigma}$  e com tamanhos proporcionais aos seus respectivos autovetores.

# Caso 3-dim



# Distância estatística em $k$ dimensões

- $\Sigma$  é a matriz de covariância  $k \times k$  de um vetor aleatório  $\mathbf{Y}$  de dimensão  $k$ , temos:
  - sempre temos  $k$  autovetores ORTOGONALIS entre si.
  - autovalores são sempre REAIS E POSITVOS.
- Esta afirmação é uma consequência do teorema espectral de álgebra linear.
- Para todo ponto  $\mathbf{y}$  que não seja o vetor esperado  $\mu$ , queremos que a distância  $d^2(\mathbf{y}, \mu)$  seja  $> 0$ .
- Uma matriz com esta propriedade é chamada de *positiva definida*.

## Resumo de normal multivariada

- O vetor aleatório  $\mathbf{Y} = (Y_1, \dots, Y_k)$  segue uma distribuição normal (ou gaussiana) multivariada se sua densidade conjunta for da forma

$$f_{\mathbf{Y}}(\mathbf{y}) = \text{cte} \times \exp\left(-\frac{1}{2} d^2(\mathbf{y}, \boldsymbol{\mu})\right)$$

onde

$$d^2(\mathbf{y}, \boldsymbol{\mu}) = (\mathbf{y} - \boldsymbol{\mu})' \boldsymbol{\Sigma}^{-1} (\mathbf{y} - \boldsymbol{\mu})$$

e  $\boldsymbol{\Sigma}$  é a matriz de covariância entre as variáveis e  $\boldsymbol{\mu}$  é o vetor de valores esperados.

- Notação:  $\mathbf{Y} \sim N_k(\boldsymbol{\mu}, \boldsymbol{\Sigma})$
- A densidade decresce com  $d^2$ . As superfícies de nível da densidade são elipsóides concêntricos centrados em  $\boldsymbol{\mu}$ .
- Os eixos do elipsóide estão na direção dos autovetores de  $\boldsymbol{\Sigma}$  e com comprimentos proporcionais à raiz do autovalor.

# Simulando uma normal multivariada

- Sabemos gerar gaussiana univariada  $N(0, 1)$  com média  $\mu = 0$  e DP  $\sigma = 1$ .
- Basta usar o algoritmo de Box-Muller (já vimos).
- Então sabemos gerar  $\mathbf{Z} = (Z_1, \dots, Z_k)$  INDEPENDENTES e IDENTICAMENTE DISTRIBUÍDOS onde cada  $Z_i \sim N(0, 1)$ .
- Podemos passar de  $\mathbf{Z}$  para um vetor  $\mathbf{Y} \sim N_k(\mu, \Sigma)$  apenas manipulando matrizes.
- Seja  $L$  uma matriz  $k \times k$  tal que  $LL^t = \Sigma$ .
- Calcule  $\mathbf{Y} = \mu + L\mathbf{Z}$ .
- Temos  $\mathbf{Y} \sim N_k(\mu, \Sigma)$

# Como achar $L$

- Precisamos achar uma matriz  $L$  que seja  $k \times k$  e tal que  $LL^t = \sum$ .
- É como se estivéssemos achando uma espécie de raiz quadrada de  $\sum$ .
- Quem é esta  $L$ ? Qualquer uma que satisfaç  $LL^t = \sum$ .
- OK, mas como achar uma dessas?
- Pela *decomposição de Cholesky*: uma matriz *simétrica e positiva definida*  $\sum$  possui uma matriz  $L$  triangular inferior tal que  $LL^t = \sum$ .
- Em R: `t(chol(A))` (precisa transpor pois a saída de `chol` é triangular superior)

# Algoritmo para decomposição de Cholesky

$$\begin{aligned}
 A = LL^t &= \begin{pmatrix} l_{11} & 0 & 0 \\ l_{21} & l_{22} & 0 \\ l_{31} & l_{32} & l_{33} \end{pmatrix} \begin{pmatrix} l_{11} & l_{21} & l_{31} \\ 0 & l_{22} & l_{32} \\ 0 & 0 & l_{33} \end{pmatrix} \\
 &= \begin{pmatrix} l_{11}^2 & l_{21}l_{11} & l_{31}l_{11} \\ l_{21}l_{11} & l_{21}^2 + l_{22}^2 & l_{31}l_{21} + l_{32}l_{22} \\ l_{31}l_{11} & l_{31}l_{21} + l_{32}l_{22} & l_{31}^2 + l_{32}^2 + l_{33}^2 \end{pmatrix}
 \end{aligned}$$

- O que deve ser o valor  $l_{11}$ ?
- Iguele o elemento 11 da matriz  $A$  e o elemento 11 da matriz produto  $LL^t$ .
- Vemos que  $l_{11}^2 = a_{11}$ , ou seja,  $l_{11} = \sqrt{a_{11}}$ .

# Algoritmo para decomposição de Cholesky

$$\begin{aligned}
 A = LL^t &= \begin{pmatrix} l_{11} & 0 & 0 \\ l_{21} & l_{22} & 0 \\ l_{31} & l_{32} & l_{33} \end{pmatrix} \begin{pmatrix} l_{11} & l_{21} & l_{31} \\ 0 & l_{22} & l_{32} \\ 0 & 0 & l_{33} \end{pmatrix} \\
 &= \begin{pmatrix} l_{11}^2 & * & * \\ l_{21}l_{11} & l_{21}^2 + l_{22}^2 & * \\ l_{31}l_{11} & l_{31}l_{21} + l_{32}l_{22} & l_{31}^2 + l_{32}^2 + l_{33}^2 \end{pmatrix}
 \end{aligned}$$

- Iguele o elemento 21 de  $A$  com o elemento 21 de  $L^t L$ .
- Temos  $l_{21}l_{11} = a_{21}$ . Como já obtivemos  $l_{11} = \sqrt{a_{11}}$ , encontramos  $l_{21} = a_{21}/\sqrt{a_{11}}$ .

# Algoritmo para decomposição de Cholesky

$$\begin{aligned}
 A = LL^t &= \begin{pmatrix} l_{11} & 0 & 0 \\ l_{21} & l_{22} & 0 \\ l_{31} & l_{32} & l_{33} \end{pmatrix} \begin{pmatrix} l_{11} & l_{21} & l_{31} \\ 0 & l_{22} & l_{32} \\ 0 & 0 & l_{33} \end{pmatrix} \\
 &= \begin{pmatrix} l_{11}^2 & & \\ l_{21}l_{11} & l_{21}^2 + l_{22}^2 & \\ l_{31}l_{11} & l_{31}l_{21} + l_{32}l_{22} & l_{31}^2 + l_{32}^2 + l_{33}^2 \end{pmatrix}
 \end{aligned}$$

- De maneira idêntica, obtemos  $l_{31} = a_{31}/\sqrt{a_{11}}$ .
- Primeira coluna de  $L$  está pronta. Vamos agora obter a segunda coluna de  $L$ .
- Igualo o elemento  $a_{22}$  e o elemento 22 do produto  $LL^t$ :  $a_{22} = l_{21}^2 + l_{22}^2$ .
- Assim,  $l_{22} = \sqrt{a_{22} - l_{21}^2} = \sqrt{a_{22} - a_{21}^2/a_{11}}$ .

# Algoritmo para decomposição de Cholesky

$$\begin{aligned}
 A = LL^t &= \begin{pmatrix} l_{11} & 0 & 0 \\ l_{21} & l_{22} & 0 \\ l_{31} & l_{32} & l_{33} \end{pmatrix} \begin{pmatrix} l_{11} & l_{21} & l_{31} \\ 0 & l_{22} & l_{32} \\ 0 & 0 & l_{33} \end{pmatrix} \\
 &= \begin{pmatrix} l_{11}^2 & & \\ l_{21}l_{11} & l_{21}^2 + l_{22}^2 & \\ l_{31}l_{11} & l_{31}l_{21} + l_{32}l_{22} & l_{31}^2 + l_{32}^2 + l_{33}^2 \end{pmatrix}
 \end{aligned}$$

- Tendo obtido  $l_{11}, l_{21}, l_{31}, l_{22}$ , passamos agora a  $l_{32}$
- Igualo o elemento  $a_{32}$  e o elemento 32 do produto  $LL^t$
- E assim sucessivamente.

$$\begin{pmatrix} 25 & 15 & -5 \\ 15 & 18 & 0 \\ -5 & 0 & 11 \end{pmatrix} = \begin{pmatrix} l_{11} & 0 & 0 \\ l_{21} & l_{22} & 0 \\ l_{31} & l_{32} & l_{33} \end{pmatrix} \begin{pmatrix} l_{11} & l_{21} & l_{31} \\ 0 & l_{22} & l_{32} \\ 0 & 0 & l_{33} \end{pmatrix}$$

- primeira coluna de  $L$

$$\begin{pmatrix} 25 & 15 & -5 \\ 15 & 18 & 0 \\ -5 & 0 & 11 \end{pmatrix} = \begin{pmatrix} 5 & 0 & 0 \\ 3 & l_{22} & 0 \\ -1 & l_{32} & l_{33} \end{pmatrix} \begin{pmatrix} 5 & 3 & -1 \\ 0 & l_{22} & l_{32} \\ 0 & 0 & l_{33} \end{pmatrix}$$

- conclusão:

$$\begin{pmatrix} 25 & 15 & -5 \\ 15 & 18 & 0 \\ -5 & 0 & 11 \end{pmatrix} = \begin{pmatrix} 5 & 0 & 0 \\ 3 & 3 & 0 \\ -1 & 1 & 3 \end{pmatrix} \begin{pmatrix} 5 & 3 & -1 \\ 0 & 3 & 1 \\ 0 & 0 & 3 \end{pmatrix}$$

## Exemplo - simulando $N_4(\mu, \Sigma)$

- Suponha que queremos gerar uma amostra de 200 instâncias de um vetor  $\mathbf{Y}$  gaussiano multivariado de dimensão 4 tal que  $\mathbf{Y} \sim N_4(\mu, \Sigma)$ .
- $\mu = (\mu_1, \dots, \mu_4) = (0, 10, 0, 1020)$
- A matriz de covariância:

$$\Sigma = \begin{pmatrix} 1.0 & -0.1 & 0 & -0.7 \\ -0.1 & 16 & -0.4 & 20 \\ 0 & -0.4 & 0.04 & -0.1 \\ -0.7 & 20 & -0.1 & 64 \end{pmatrix}$$

- Veja que a raiz quadrada da diagonal fornece os desvios-padrão:

$$\sqrt{\text{diag}(\Sigma)} = \sqrt{(1.0, 16, 0.04, 64)} = (1.0, 4, 0.2, 8)$$

## Exemplo - simulando $N_4(\mu, \Sigma)$

- Como a covariância está associada com a correlação e os desvios-padrão,

$$\sigma_{ij} = \rho_{ij}\sigma_i\sigma_j$$

podemos escrever a matriz de covariância como resultado de manipular matricialmente a matriz de correlação:

$$\Sigma = \mathbf{V}^{1/2} \boldsymbol{\rho} \mathbf{V}^{1/2}$$

onde  $\mathbf{V}$  é uma matriz diagonal com as variâncias  $(\sigma_1^2, \dots, \sigma_k^2)$  e  $\boldsymbol{\rho}$  é uma matriz quadrada com as correlações  $\rho_{ij}$ .

- Portanto, podemos também escrever

$$\boldsymbol{\rho} = \left( \mathbf{V}^{1/2} \right)^{-1} \sum \left( \mathbf{V}^{1/2} \right)^{-1}$$

# Exemplo - simulando $N_4(\mu, \Sigma)$

- No nosso exemplo:

$$\Sigma = \begin{pmatrix} 1.0 & -0.1 & 0 & -0.7 \\ -0.1 & 16 & -0.4 & 20 \\ 0 & -0.4 & 0.04 & -0.1 \\ -0.7 & 20 & -0.1 & 64 \end{pmatrix} = \mathbf{V}^{1/2} \boldsymbol{\rho} \mathbf{V}^{1/2}$$

onde

$$\mathbf{V}^{1/2} = \begin{pmatrix} \sqrt{1} & 0 & 0 & 0 \\ 0 & \sqrt{16} & 0 & 0 \\ 0 & 0 & \sqrt{0.04} & 0 \\ 0 & 0 & 0 & \sqrt{64} \end{pmatrix}$$

e

$$\boldsymbol{\rho} = \begin{pmatrix} 1.0000 & -0.0250 & 0.0000 & -0.0875 \\ -0.0250 & 1.0000 & -0.5000 & 0.6250 \\ 0.0000 & -0.5000 & 1.0000 & -0.0625 \\ -0.0875 & 0.6250 & -0.0625 & 1.0000 \end{pmatrix}$$

# Exemplo - simulando $N_4(\mu, \Sigma)$

- Na direção inversa

$$\rho = \begin{pmatrix} 1.0000 & -0.0250 & 0.0000 & -0.0875 \\ -0.0250 & 1.0000 & -0.5000 & 0.6250 \\ 0.0000 & -0.5000 & 1.0000 & -0.0625 \\ -0.0875 & 0.6250 & -0.0625 & 1.0000 \end{pmatrix} = \mathbf{V}^{-1/2} \sum \mathbf{V}^{-1/2}$$

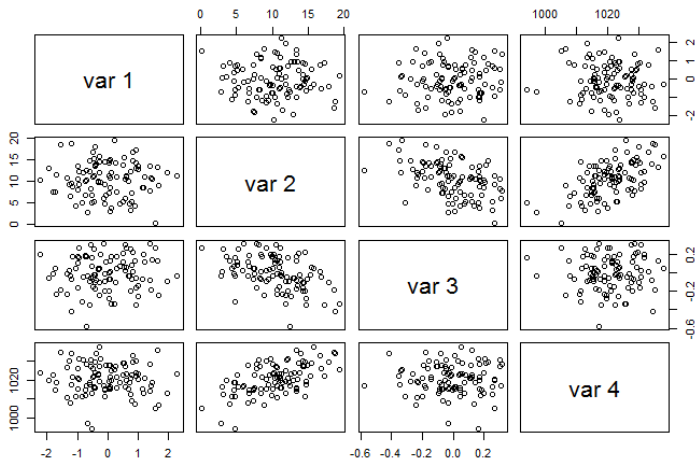
onde  $\mathbf{V}^{-1/2} = (\mathbf{V}^{1/2})^{-1}$  é dada por

$$\begin{pmatrix} \sqrt{1} & 0 & 0 & 0 \\ 0 & \sqrt{16} & 0 & 0 \\ 0 & 0 & \sqrt{0.04} & 0 \\ 0 & 0 & 0 & \sqrt{64} \end{pmatrix}^{-1} = \begin{pmatrix} 1.000 & 0 & 0 & 0 \\ 0 & 0.250 & 0 & 0 \\ 0 & 0 & 5.000 & 0 \\ 0 & 0 & 0 & 0.125 \end{pmatrix}$$

- A partir da matriz de correlação  $\rho$  vemos que  $Y_1$  é praticamente não-correlacionada com as outras três.
- Já  $Y_2$  é possui uma correlação moderada com  $Y_3$  (negativa) e com  $Y_4$  (positiva).
- Apesar disso, curiosamente,  $Y_3$  e  $Y_4$  são praticamente não-correlacionadas.

# Exemplo - simulando $N_4(\mu, \Sigma)$

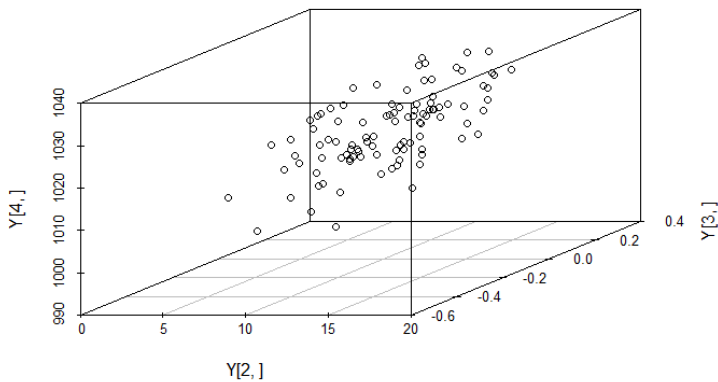
```
nsims = 100
mu = matrix(c(0, 10, 0, 1020), ncol=1)
S = matrix(c(1, -0.1, 0, -0.7,
            -0.1, 16, -0.4, 20,
            0, -0.4, 0.04, -0.1,
            -0.7, 20, -0.1, 64), ncol=4)
L = t(chol(S))
Z = matrix(rnorm(4*nsims), nrow=4)
Y = mu + L %*% Z    # matriz 4 x nsims
pairs(t(Y)) # ver proximo slide
```

Exemplo - simulando  $N_4(\mu, \Sigma)$ 

## Exemplo - simulando $N_4(\mu, \Sigma)$

- Podemos criar scatterplots TRI-dimensionais com os vetores que simulamos.
- Como os vetores são 4-dim, vamos escolher três das 4 variáveis para fazer o plot.
- Precisamos do pacote `scatterplot3d`.
- Usamos a função `scatterplot3d(x, y, z)`.

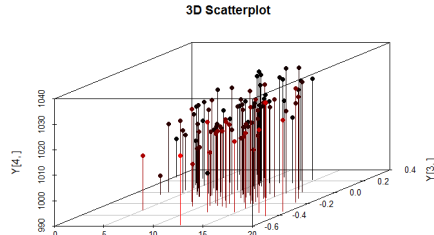
```
library(scatterplot3d)
scatterplot3d(Y[2,], Y[3,], Y[4,])
```

Exemplo - simulando  $N_4(\mu, \Sigma)$ 

# Exemplo - simulando $N_4(\mu, \Sigma)$

- Scatterplot 3-dim com cores e linhas ajudando a localizar os pontos no espaço.
- Pontos são desenhados com cores diferentes de acordo com sua coordenada  $y$  (de outra forma, fica difícil ver que pontos estão mais à frente ou atrás no cubo 3-dim).

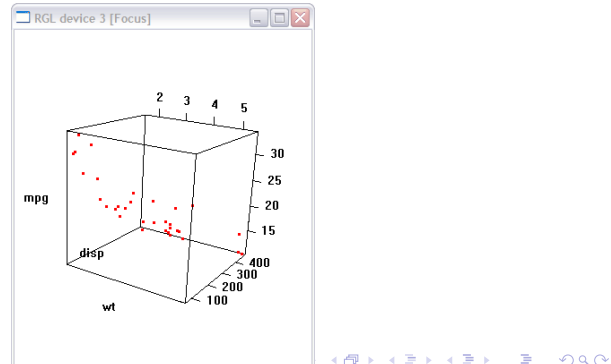
```
library(scatterplot3d)
scatterplot3d(Y[2,], Y[3,], Y[4,], pch=16,
highlight.3d=TRUE, type="h", main="3D Scatterplot")
```



## Exemplo - simulando $N_4(\mu, \Sigma)$

- Um scatter 3-dim dinâmico: `plot3D(x, y, z)` do pacote `rgl`.
- Cria um catter 3-dim que pode ser rotacionado com o mouse.
- `col=` e `size=` controlam a cor e tamanho dos pontos.

```
library(rgl)
plot3d(Y[2,], Y[3,], Y[4,], col="red", size=3)
```



# Forma quadrática

- Seja  $\mathbf{y} = (y_1, \dots, y_k)$  um VETOR-COLUNA em  $\mathbb{R}^k$ .
- Seja  $A$  uma matriz  $k \times k$ .
- Forma quadrática é qualquer expressão assim:

$$\mathbf{y}' A \mathbf{y} = \sum_{ij} A_{ij} y_i y_j$$

- Por exemplo, se  $\mathbf{y} = (y_1, y_2)$  e  $A$  for  $2 \times 2$ :

$$(y_1, y_2) A \begin{pmatrix} y_1 \\ y_2 \end{pmatrix}$$

que são iguais a

$$A_{11}y_1^2 + A_{12}y_1y_2 + A_{21}y_2y_1 + A_{22}y_2^2$$

- Envolve combinações lineares dos produtos de pares de variáveis (produto de duas variáveis distintas ou produto de uma variável por ela mesma).

# Exemplos de formas quadráticas

- Exemplos bi-dimensionais:

$$(y_1, y_2) \begin{bmatrix} 1 & 0 \\ 0 & 1 \end{bmatrix} \begin{pmatrix} y_1 \\ y_2 \end{pmatrix} = y_1^2 + y_2^2$$

$$(y_1, y_2) \begin{bmatrix} 9 & 0 \\ 0 & 4 \end{bmatrix} \begin{pmatrix} y_1 \\ y_2 \end{pmatrix} = 9y_1^2 + 4y_2^2$$

$$(y_1, y_2) \begin{bmatrix} 9 & 3 \\ 3 & 4 \end{bmatrix} \begin{pmatrix} y_1 \\ y_2 \end{pmatrix} = 9y_1^2 + 4y_2^2 + 3y_1y_2 + 3y_2y_1 = 9y_1^2 + 4y_2^2 + 6y_1y_2$$

# Formas quadráticas simétricas

- A matriz  $A$  na forma quadrática

$$\mathbf{y}' A \mathbf{y} = \sum_{ij} A_{ij} y_i y_j$$

pode ser SEMPRE tomada como simétrica.

- Por exemplo, no caso bi-dimensional

$$\begin{aligned}\mathbf{y}' A \mathbf{y} &= (y_1, y_2) \begin{bmatrix} 9 & 2 \\ 4 & 4 \end{bmatrix} \begin{pmatrix} y_1 \\ y_2 \end{pmatrix} \\ &= 9y_1^2 + 4y_2^2 + 2y_1 y_2 + 4y_2 y_1 \\ &= 9y_1^2 + 4y_2^2 + 6y_1 y_2 \\ &= (y_1, y_2) \begin{bmatrix} 9 & 3 \\ 3 & 4 \end{bmatrix} \begin{pmatrix} y_1 \\ y_2 \end{pmatrix}\end{aligned}$$

- Caso geral: ver lista de exercícios.
- De agora em diante,  $A$  em formas quadráticas é sempre simétrica.

# Matrizes positivas definidas

- Queremos que uma medida de distância mais geral que a euclidiana.
- Se a distância ao quadrado de  $\mathbf{y}$  até a origem  $\mathbf{0} = (0, \dots, 0)$  for uma forma quadrática, precisamos garantir que, PARA TODO VETOR  $\mathbf{y}$  que não seja nulo tenhamos

$$d^2(\mathbf{y}, \mathbf{0}) = \mathbf{y}' A \mathbf{y} = \sum_{ij} A_{ij} y_i y_j > 0$$

- Matrizes que atendem esta condição são chamadas de matrizes definidas positivas.

## Exemplos de matrizes positivas definidas

- Exemplos de positiva definida em que  $\mathbf{y}'\mathbf{A}\mathbf{y} > 0$  para todo  $\mathbf{y} \neq \mathbf{0}$ :

$$(y_1, y_2) \begin{bmatrix} 9 & 0 \\ 0 & 4 \end{bmatrix} \begin{pmatrix} y_1 \\ y_2 \end{pmatrix} = 9y_1^2 + 4y_2^2 > 0$$

- Outro exemplo:

$$(y_1, y_2) \begin{bmatrix} 9 & -3 \\ -3 & 4 \end{bmatrix} \begin{pmatrix} y_1 \\ y_2 \end{pmatrix} = 9y_1^2 + 4y_2^2 - 3y_1y_2 - 3y_2y_1 = 9y_1^2 + 4y_2^2 - 6y_1y_2 > 0$$

- Não é óbvio que esta última matriz seja dp. E é apenas um caso 2-dim!!

# Exemplos de matrizes que NÃO SÃO positiva definida

- Um exemplo:

$$(y_1, y_2) \begin{bmatrix} 9 & 0 \\ 0 & -4 \end{bmatrix} \begin{pmatrix} y_1 \\ y_2 \end{pmatrix} = 9y_1^2 - 4y_2^2$$

- pois é menor que zero se  $(y_1, y_2) = (0, 1)$ , por exemplo.
- Outro exemplo:

$$(y_1, y_2) \begin{bmatrix} 1 & -2 \\ -2 & 1 \end{bmatrix} \begin{pmatrix} y_1 \\ y_2 \end{pmatrix} = y_1^2 + y_2^2 - 4y_1y_2$$

- É menor que zero se tomarmos  $(y_1, y_2) = (1, 1)$ , por exemplo.

# Checando se matriz é positiva definida

- Como verificar, em geral, se uma matriz simétrica  $A$  de dimensão  $k \times k$  é definida positiva?
- Difícil se  $k$  for grande.
- Checando todos os infinitos  $\mathbf{y}??$
- Não...
- $A$  é definida positiva se, e somente se, todos os seus autovalores forem positivos.
- Algoritmos para encontrar autovalores são custosos, especialmente se a matriz é grande.
- $A$  é definida positiva se, e somente se, existir a sua decomposição de Cholesky.
- Este é algoritmo simples e rápido.
- Vamos ver um exemplo

# Nossa matriz é positiva definida

- Nossa matriz  $A$  será de um tipo especial: será uma matriz de covariância.
- Neste caso,  $A$  será sempre def pos (a não ser em exemplos patológicos, que não ocorrem na prática).

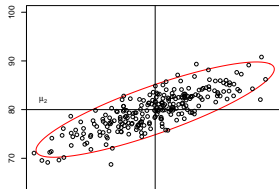
# Qual a relação entre $\Sigma$ e a elipse?

- Suponha que a medida de distância do vetor aleatório  $y$  até o perfil esperado  $\mu$  é dada por

$$d^2(y, \mu) = (y - \mu)' \Sigma^{-1} (y - \mu)$$

onde  $\Sigma$  é uma matriz de covariância simétrica e definida positiva.

- Os pontos  $y$  que são equidistantes de  $\mu$  formam uma elipse centrada em  $\mu$  e com eixos na direção dos autovetores da matriz  $\Sigma$ . Os tamanhos dos semi-eixos da elipse são proporcionais a (raiz quadrada) dos seus respectivos autovalores.



# Autovetores de matrizes simétricas

- Autovetor e autovalor de matriz QUADRADA  $A$ .
- Definição:  $A\mathbf{v} = \lambda\mathbf{v}$
- Autovalor  $\lambda$  pode ser um número complexo.
- Se  $A$  for simétrica então  $\lambda$  é real.
- Só nos interessam as matrizes simétricas.

# Imagine a matriz como uma transformação

- O que é um autovetor de uma matriz  $A$  de dimensão  $p \times p$ ?
- Olhe a definição de novo:  $A\mathbf{v} = \lambda\mathbf{v}$
- Um autovetor é uma direção muito especial em  $\mathbb{R}^p$ .
- É uma direção  $\mathbf{v}$  tal que, quando  $A$  é aplicado a  $\mathbf{v}$ , temos apenas  $\mathbf{v}$  espichado (se  $\lambda > 1$ ) ou encolhido (se  $0 < \lambda < 1$ )
- Se  $\lambda < 0$ , a direção muda de sentido.

# Imagine a matriz como uma transformação

- Matriz real e simétrica  $A$  de dimensão  $p \times p$ .
- Pense na transformação de  $\mathbb{R}^p$  para  $\mathbb{R}^p$  pela aplicação da matriz  $A$ .
- Isto é, considere a transformação linear  $T: \mathbb{R}^p \mapsto \mathbb{R}^p$  tal que  $T(\mathbf{v}) = A\mathbf{v}$ .
- Por exemplo, pense numa imagem em  $\mathbb{R}^2$ , um desenho feito com linhas e curvas.
- Cada ponto do desenho será identificado com um vetor de  $\mathbb{R}^2$ .
- Cada ponto será transformado através de uma matriz simétrica  $A$  de dimensão  $2 \times 2$ .
- O que será o novo desenho?

# Imagine a matriz como uma transformação

- Em geral, a imagem  $A\mathbf{v}$  de um ponto não tem uma relação geométrica simples com  $\mathbf{v}$ .
- Em geral, é difícil antecipar qual será o resultado de aplicar  $A$  em  $\mathbf{v}$ .
- A seguir, veremos o efeito de

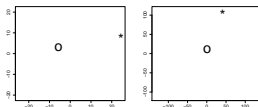
$$A = \begin{pmatrix} 1 & 1.2 \\ 1.2 & 5 \end{pmatrix}$$

- Em  $p$  dimensões não teremos uma imagem para olhar...

# Imagine a matriz como uma transformação

- Matriz

$$A = \begin{pmatrix} 1 & 1.2 \\ 1.2 & 5 \end{pmatrix}$$

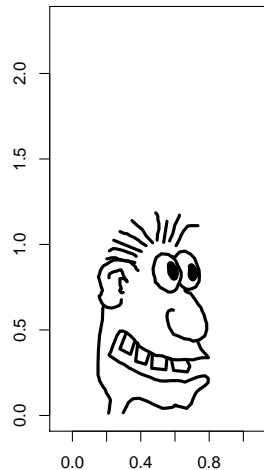


- O ponto-estrela da esquerda é levado por  $A$  no ponto-estrela da direita.
- O ponto-bolinha da direita é levado por  $A$  no ponto-bolinha da direita.
- Podemos ANTECIPAR o efeito de  $A$  num ponto arbitrário  $(x, y)$ ?
- Onde ele será levado?
- Isto parece ser uma tarefa difícil.

# Imagine a matriz como uma transformação

- Se  $A$  for  $p \times p$ , teremos vetores em  $p$  dimensões: não teremos uma imagem para olhar...
  - Antecipar onde o vetor  $x \in \mathbb{R}^p$  será levado por  $A$  parece uma tarefa impossível.
  - E no entanto...
- 
- Ao longo de ALGUMAS DIREÇÕES  $\mathbf{v}$ , o comportamento da transformação por  $A$  é facilmente entendido.
  - Pense num vetor que esteja numa destas direções especiais.
  - Então  $A$  simplesmente espicha ou encolhe o ponto-vetor, SEM ALTERAR A SUA DIREÇÃO.

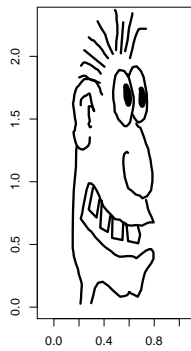
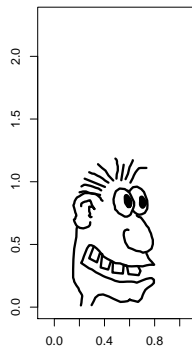
# Cara Engraçada



# Espichando verticalmente

- Espichando verticalmente com

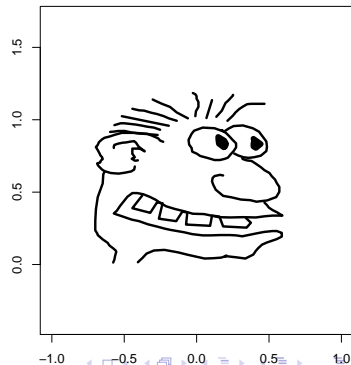
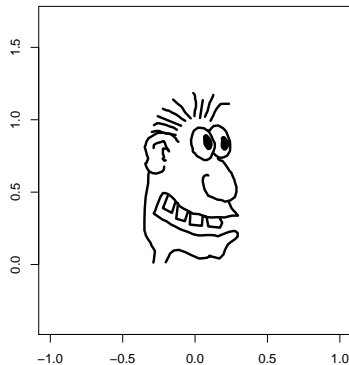
$$A = \begin{pmatrix} 1 & 0 \\ 0 & 2 \end{pmatrix}$$



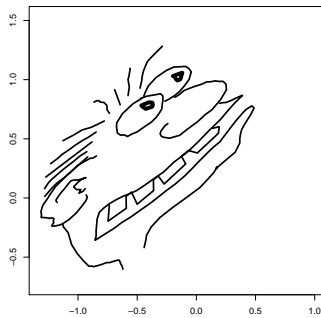
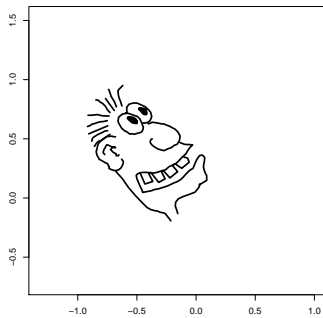
# Espichando lateralmente

- Espichando lateralmente com

$$A = \begin{pmatrix} 2 & 0 \\ 0 & 1 \end{pmatrix}$$



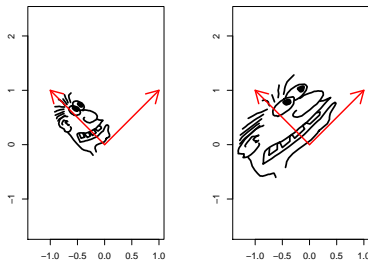
# E se o desenho estiver rotacionado?



**Figura:** Queremos espichar apenas lateralmente o desenho da face mas mantendo a sua orientação. Como fazer?

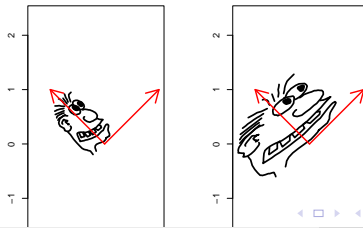
# Direções especiais

- Existem duas direções especiais associadas com a transformação linear  $T$  que desejamos fazer na figura.
- Ao longo dessas duas direções especiais, basta espichar lateralmente ao longo de UMA delas para fazer a face ficar mais “gordinha”.
- Basta espichar ou contrair a projeção do vetor ao longo dessa direção para obter o efeito desejado.



## Direções especiais

- Então  $A\mathbf{v}$  pode ser pensado assim: expresse  $\mathbf{v}$  com coordenadas na base ortogonal formada pelas duas direções especiais.
- Espiche ou contraia cada uma das coordenadas dessas direções especiais.
- Volte para o sistema de coordenadas original.
- Se esta história de espichar a cara não ficou muito clara, não se preocupe. O que você REALMENTE precisa saber está resumido a seguir.



# Autovetor = Direção especial

- O que é um autovetor  $\mathbf{v}$  de uma matriz simétrica  $A$  de dimensão  $p \times p$ ?
- Por definição:  $A\mathbf{v} = \lambda\mathbf{v}$
- Um autovetor é uma direção muito especial em  $\mathbb{R}^p$ .
- É uma direção  $\mathbf{v}$  tal que, quando  $A$  é aplicado a  $\mathbf{v}$ , temos apenas  $\mathbf{v}$  espichado (se  $\lambda > 1$ ) ou encolhido (se  $0 < \lambda < 1$ ).

# Teorema Espectral - 1

- Seja  $A$  uma matriz  $p \times p$  simétrica e *positiva definida*.
- Existem  $p$  autovalores associados com  $A$ .
- Estes  $p$  autovalores são números reais pois  $A$  é simétrica
- Estes autovalores são POSITIVOS pois  $A$  é positiva definida.
- A cada autovalor corresponde um autovetor ou direção em  $\mathbb{R}^p$ .
- O que podemos falar desses autovetores?

## Teorema Espectral - 2

- Os  $p$  autovetores são ortogonais entre si.
- Tomando todos esses autovetores com comprimento 1 e colocando-os como  $p$  colunas de uma matriz  $P$ , teremos  $P^t P = I$  pois eles são ortogonais entre si.
- Seja  $D$  uma matriz diagonal  $p \times p$  com os autovalores (na mesma ordem que as colunas de  $P$ ).
- Teorema Espectral:  $A = PDP^t$
- O que isto significa:  $A$  age simplesmente como uma matriz diagonal  $D$  (que é fácil de ser entendida) se trabalharmos no sistema de coordenadas dos autovetores (que são as colunas de  $P$ ) !!
- Dizemos que  $A$  é diagonalizável.

# Coordenadas

- No sistema de coordenadas dos autovetores, a matriz  $A$  funciona como uma matriz diagonal.
- $x$  no novo sistema de coordenadas dos autovetores é  $x^* = Px$ .
- Se  $x^*$  é o conjunto de coordenadas no sistema de autovetores, para voltar ao sistema original simplesmente multiplique pela inversa de  $P$  que é ...  $P^t$ .
- Lembre-se que  $P^t P = I$ .

## Resumindo...

- Pontos na ELIPSE tendem a estar a igual distância do perfil esperado  $\mu = (\mu_1, \mu_2)$
- A maneira correta de medir distância ao perfil esperado  $\mu = (\mu_1, \mu_2)$  é pela forma quadrática

$$d^2(\mathbf{y}, \boldsymbol{\mu}) = (\mathbf{y} - \boldsymbol{\mu})' \boldsymbol{\Sigma}^{-1} (\mathbf{y} - \boldsymbol{\mu})$$

- A elipse é determinada pelos autovetores e autovalores de  $\boldsymbol{\Sigma}^{-1}$ , a inversa da matriz de covariância das v.a.'s envolvidas.
- Os autovetores de  $\boldsymbol{\Sigma}^{-1}$  e de  $\boldsymbol{\Sigma}$  são os mesmos
- Os autovalores de  $\boldsymbol{\Sigma}^{-1}$  são os inversos  $1/\lambda$  dos autovalores de  $\lambda$

## Um exemplo de normal multivariada

- O retorno diário de uma ação é a variação percentual no seu preço de um dia para o outro.
- Seja  $S(t)$  o preço no dia  $t$
- O retorno da ação no dia  $t + 1$  é dado por

$$Z(t+1) = \frac{S(t+1) - S(t)}{S(t)}$$

- É a diferença no preço da ação entre hoje e ontem RELATIVAMENTE ao preço de ontem.

## Quatro ações

- Assim, se  $Z(t + 1) = 0.1$  isto significa que

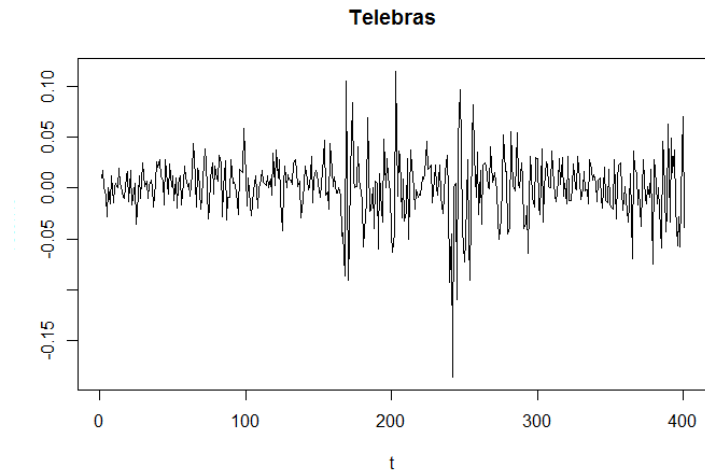
$$Z(t + 1) = \frac{S(t + 1) - S(t)}{S(t)} = 0.1 \Rightarrow S(t + 1) = (1 + 0.1)S(t)$$

- Ou seja, um aumento de 10% no preço.
- Se  $Z(t + 1) = -0.1$ , temos então  $S(t + 1) = (1 - 0.1)S(t)$ , uma diminuição de 10% no preço.
- Uma suposição muito comum é que os retornos diários de uma ação segue uma normal.
- E que os retornos de várias ações num mesmo dia seguem uma normal multivariada

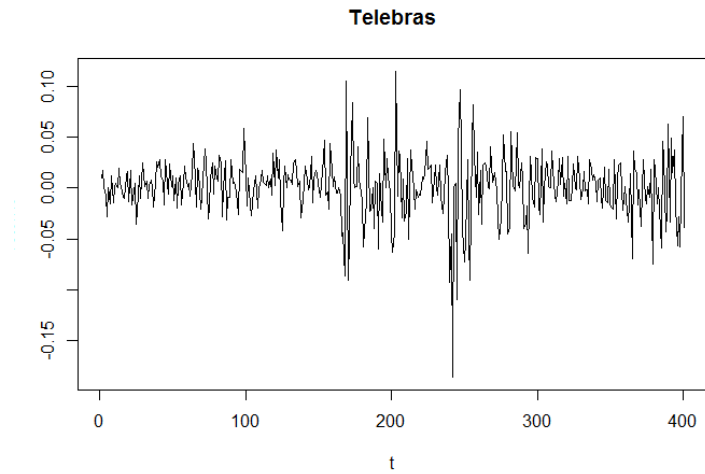
## Quatro ações

- Vamos olhar os dados dos retornos diários de algumas das principais ações da Bolsa do Estado de São Paulo (BOVESPA).
- Dados diários do período de 4/Nov/1996 a 18/Junho/1998
- Vamos olhar apenas 4 ações, como ilustração:
  - Eletrobrás,
  - Vale do Rio Doce,
  - Petrobrás,
  - Suzano (empresa de papel e celulose)

# Telebrás no tempo

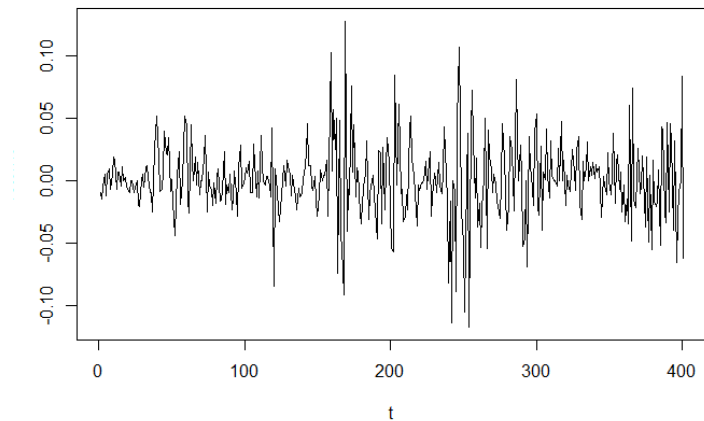


# Telebrás no tempo



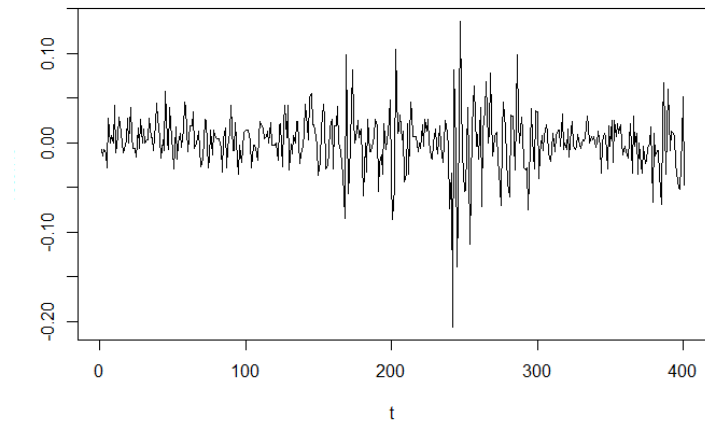
# Vale no tempo

Vale do Rio Doce

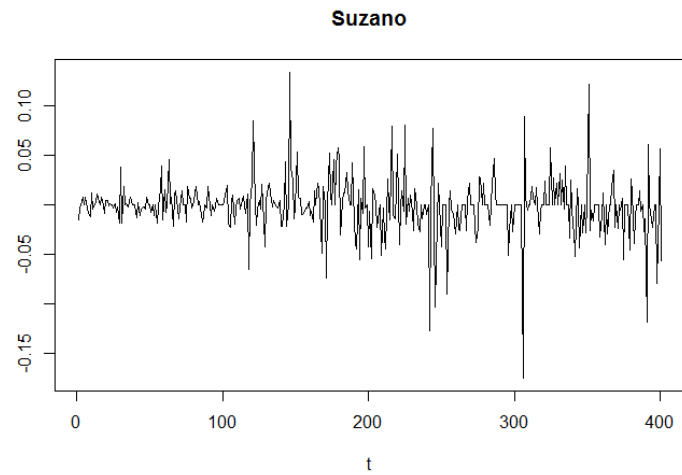


# Petrorás no tempo

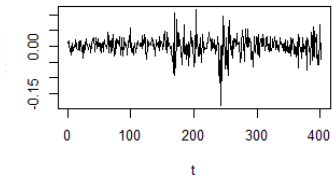
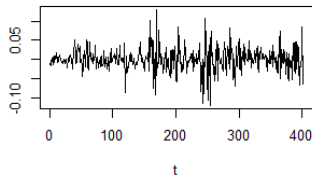
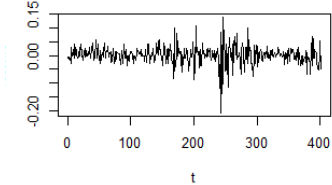
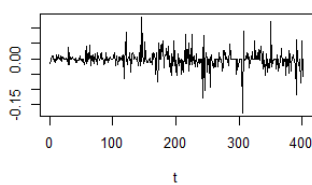
Petrobras



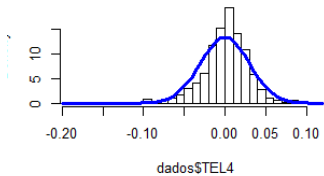
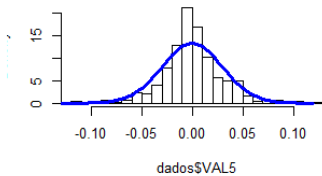
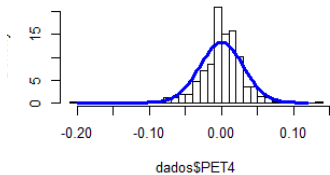
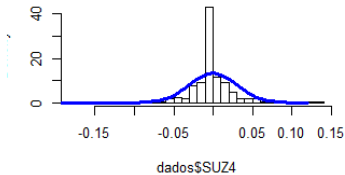
# Suzano no tempo



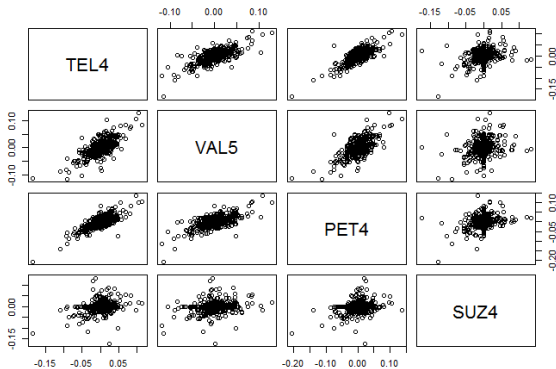
# As quatro no tempo

**Telebras****Vale do Rio Doce****Petrobras****Suzano**

# Histogramas e ajustes gaussianos

**Telebras****Vale****Petrobras****Suzano**

# Scatterplot dos pares de ações

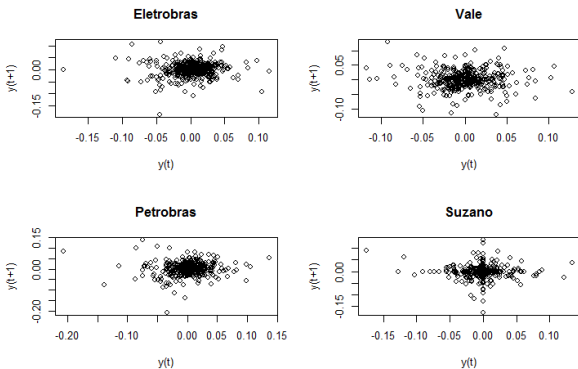


**Figura:** Tele, Vale e Pet são bem correlacionadas. Quando uma sobe muito, as outras duas também sobem. Suzano não parece ser muito correlacionada com estas outras.

## Correlação no tempo

- E a correlação de UMA MESMA ação em dias sucessivos?
- Por exemplo, se a ação da Vale subir bastante hoje, o que podemos esperar para seu movimento amanhã?
- Surpreendente: quase não existe correlação.
- Não uma tendência detectável na VARIAÇÃO dos preços das ações em dias sucessivos.
- Não acredita? Veja os próximos gráficos.

# Correlação no tempo



**Figura:** Gráfico de  $y_{t+1}$  versus  $y_t$  para as quatro ações. Não existe correlação entre os retornos de uma ação em dias sucessivos.

## Matriz de correlação

- Seja  $\mathbf{Y}_t = (Y_{1t}, Y_{2t}, Y_{3t}, Y_{4t})$  os retornos das quatro ações no dia  $t$ .
- Vamos calcular empiricamente o coeficiente de correlação de Pearson para os pares de ações.
- Temos 401 instâncias de  $\mathbf{Y}_t$  correspondentes a 401 dias.
- O vetor esperado pode ser estimado a partir dos dados

$$\boldsymbol{\mu} = (\mu_1, \mu_2, \mu_3, \mu_4) \approx (\bar{y}_1, \bar{y}_2, \bar{y}_3, \bar{y}_4) = \bar{\mathbf{y}} = (1.094, 0.276, 1.038, -1.459) \times 10^{-3}$$

onde  $\bar{x}_j$  é a média aritmética

$$\bar{x}_j = \frac{1}{401} \sum_t Y_{tj}$$

- Assim, o retorno diário no período é pequeno, ligeiramente positivo pra as três primeiras, e negativo para SUZ.
- Quanto ao desvio padrão para cada uma delas, estimando dos dados encontramos

$$(\sigma_1, \sigma_2, \sigma_3, \sigma_4) \approx (s_1, s_2, s_3, s_4) = (0.030, 0.030, 0.032, 0.028)$$

## Matriz de correlação

- Seja  $\mathbf{Y}_t = (Y_{1t}, Y_{2t}, Y_{3t}, Y_{4t})$  os retornos da quatro ações no dia  $t$ .
- Vamos calcular empiricamente o coeficiente de correlação de Pearson para os pares de ações.
- Temos 401 instâncias de  $\mathbf{Y}_t$  correspondentes a 401 dias.
- Matriz de correlação:

$$\rho = \begin{pmatrix} & \text{Tel4} & \text{Val5} & \text{Pet4} & \text{Suz4} \\ \text{Tel4} & 1.00 & 0.72 & 0.79 & 0.30 \\ \text{Val5} & 0.72 & 1.00 & 0.68 & 0.24 \\ \text{Pet4} & 0.79 & 0.68 & 1.00 & 0.33 \\ \text{Suz4} & 0.30 & 0.24 & 0.33 & 1.00 \end{pmatrix}$$

- De fato, TEL, PET e VALE são bem correlacionadas (positivamente) enquanto SUZ mostra pouca correlação com estas outras três ações.

## Matriz de covariância

- Matriz de covariância:

$$\sum \approx \mathbf{S} = 10^{-4} \begin{pmatrix} & \text{Tel4} & \text{Val5} & \text{Pet4} & \text{Suz4} \\ \text{Tel4} & 9.08 & 6.58 & 7.49 & 2.53 \\ \text{Val5} & 6.58 & 9.27 & 6.53 & 2.00 \\ \text{Pet4} & 7.49 & 6.53 & 10.01 & 2.86 \\ \text{Suz4} & 2.53 & 2.00 & 2.86 & 7.69 \end{pmatrix}$$

- Veja que, ao contrário da matriz de correlação, os números dessa matriz de covariância são difíceis de interpretar.
- Como uma primeira aproximação, podemos dizer que os retornos das quatro ações num dado dia seguem  $\mathbf{Y}_t \sim N_4(\mu, \Sigma)$
- com  $\mu \approx \bar{\mathbf{y}}$  e  $\Sigma \approx \mathbf{S}$ .

## Marginais da normal multivariada

- Suponha que  $\mathbf{Y} = (Y_1, \dots, Y_k) \sim N_k(\boldsymbol{\mu}, \boldsymbol{\Sigma})$  seja um vetor aleatório com distribuição gaussiana multivariada.
- A distribuição de cada uma das entradas  $Y_i$  do vetor  $\mathbf{Y}$  é uma gaussiana.
- Além disso, a esperança e variância da distribuição são extraídos diretamente dos parâmetros de  $\mathbf{Y}$  sem necessidade de nenhum cálculo.
- $Y_i \sim N(\mu_i, \Sigma_{ii})$  onde  $\mu_i$  é a i-ésima entrada do vetor  $\boldsymbol{\mu}$  e  $\Sigma_{ii}$  a i-ésima entrada da diagonal de  $\boldsymbol{\Sigma}$ .

## Exemplo: marginais de $N_k(\mu, \Sigma)$

- $\mathbf{Y} = (Y_1, Y_2, Y_3, Y_4)$  tem vetor esperado  $\mu = (4, 3, -2, 2)$  e matriz de covariância

$$\sum = \begin{pmatrix} 3 & 0 & 2 & 2 \\ 0 & 1 & 1 & 0 \\ 2 & 1 & 9 & -2 \\ 2 & 1 & 9 & -2 \\ 2 & 0 & -2 & 4 \end{pmatrix}$$

- Então a distribuição marginal é diretamente obtida desta conjunta:

$$Y_3 \sim N(\mu_3, \Sigma_{33}) = N(-2, 9)$$

# Marginais de $N_k(\mu, \Sigma)$

- Obtemos não apenas a distribuição de cada entrada individual de  $\mathbf{Y}$  mas a distribuição marginal de qualquer sub-vetor de  $\mathbf{Y}$ .
- Por exemplo, se  $\mathbf{Y} = (Y_1, Y_2, Y_3, Y_4)$  tem vetor esperado  $\mu = (4, 3, -2, 2)$  e matriz de covariância

$$\Sigma = \begin{pmatrix} 3 & 0 & 2 & 2 \\ 0 & 1 & 1 & 0 \\ 2 & 1 & 9 & -2 \\ 2 & 1 & 9 & -2 \\ 2 & 0 & -2 & 4 \end{pmatrix}$$

- Então a distribuição marginal do sub-vetor  $(Y_1, Y_3)$  é dada por

$$(Y_1, Y_3) \sim N_2 \left( \begin{pmatrix} \mu_1 \\ \mu_3 \end{pmatrix}, \begin{pmatrix} \Sigma_{11} & \Sigma_{13} \\ \Sigma_{31} & \Sigma_{33} \end{pmatrix} \right) = N_2 \left( \begin{pmatrix} 4 \\ -2 \end{pmatrix}, \begin{pmatrix} 3 & 2 \\ 2 & 9 \end{pmatrix} \right)$$

# A importância desta propriedade

- Aparentemente, esta propriedade é boba.
- Da conjunta que é normal multivariada chegamos a marginais que também são normais.
- Isto não é óbvio?
- Não, não é.
- Acontece que é muito difícil e raro que a gente consiga saber quais são as marginais apenas mirando a fórmula da conjunta.
- Na maioria dos casos, a única maneira de obter as marginais é integrando ou somando sobre os valores das demais variáveis.

# A importância desta propriedade

- Por exemplo, suponha que

$$f_{XY}(x, y) = \text{cte} (yx^2 + \sqrt{y} \exp(-xy + x^2))$$

com suporte em  $[0, 1]^2$ .

- Não é possível saber quais são as marginais  $f_X(x)$  e  $f_Y(y)$  diretamente a partir da expressão da conjunta.
- A única maneira de obter  $f_X(x)$  é integrando  $f_{XY}(x, y)$  com respeito a  $y$ :

$$f_X(x) = \int_0^1 \text{cte} (yx^2 + \sqrt{y} \exp(-xy + x^2)) \ dy$$

- Este não é caso da normal multivariada.
- Para escrever a densidade conjunta precisamos de  $\mu$  e de  $\Sigma$ .
- Com estes dois elementos temos também todas as marginais.

## Combinação linear de normais

- Suponha que  $\mathbf{Y} = (Y_1, \dots, Y_k) \sim N_k(\boldsymbol{\mu}, \boldsymbol{\Sigma})$  seja um vetor aleatório com distribuição gaussiana multivariada.
- Queremos criar um indicador baseado nestas variáveis, uma nova variável aleatória:

$$X = c_1 Y_1 + \dots + c_k Y_k$$

- Por exemplo, podemos criar um índice para o movimento no mercado de ações.
- Usando apenas os retornos das quatro ações que vimos antes, poderíamos estabelecer o índice

$$X_t = 0.2\text{PET}_t + 0.2\text{VALE}_t + 0.2\text{TEL}_t + 0.4\text{SUZ}_t$$

- Os coeficientes  $c_i$  não precisam somar 1 ou serem positivos.
- Por exemplo, por alguma razão, poderíamos querer

$$X_t = 1.2\text{PET}_t + 2.0\text{VALE}_t + 4.3\text{TEL}_t - 3.5\text{SUZ}_t$$

# Combinação linear de normais

- Se  $\mathbf{Y} = (Y_1, \dots, Y_k) \sim N_k(\boldsymbol{\mu}, \boldsymbol{\Sigma})$  qual é a distribuição de probabilidade do indicador  $X$ ?
- Note que este tipo de indicador pode ser escrito em forma vetorial:

$$X = c_1 Y_1 + \dots + c_k Y_k = \mathbf{c}' \mathbf{Y} = (c_1, \dots, c_k) \begin{pmatrix} Y_1 \\ Y_2 \\ Y_3 \\ Y_4 \end{pmatrix}$$

- Adivinhe:  $X$  continua gaussiano.
- Isto é, temos que  $X \sim N(\text{??}, \text{??}) = N(\mu_X, \sigma_X^2)$
- Como  $X$  é univariado, basta acharmos o seu valor esperado  $\mu_X$  e sua variância  $\sigma_X^2$ .
- Estes momentos são facilmente obtidos a partir dos momentos  $\boldsymbol{\mu}$  e  $\boldsymbol{\Sigma}$  da normal multivariada, como veremos a seguir.

## Momentos de $\mathbf{c}'\mathbf{Y}$

- O cálculo do valor esperado  $\mathbb{E}(X) = \mathbb{E}(\mathbf{c}'\mathbf{Y})$  e da variância  $\mathbb{V}(X) = \mathbb{V}(\mathbf{c}'\mathbf{Y})$  não depende da distribuição do vetor  $\mathbf{Y}$ .
- Qualquer que seja a distribuição do vetor  $\mathbf{Y}$ , gaussiana ou não, contínua ou discreta, podemos obter  $\mathbb{E}(X) = \mathbb{E}(\mathbf{c}'\mathbf{Y})$  e  $\mathbb{V}(X) = \mathbb{V}(\mathbf{c}'\mathbf{Y})$  facilmente.
- Isto tem relevância pois é muito comum criar indicadores que são combinações lineares de algumas variáveis.
- Portanto, o cálculo a seguir usa apenas as propriedades de esperança e variância, sem recorrer à especificação de uma distribuição conjunta para o vetor  $\mathbf{Y}$ .

# $\mathbb{E}(\mathbf{c}' \mathbf{Y})$

- Começando com o valor esperado:

$$\begin{aligned}\mathbb{E}(X) &= \mathbb{E}(c_1 Y_1 + c_2 Y_2 + \dots + c_k Y_k) \\ &= c_1 \mathbb{E}(Y_1) + c_2 \mathbb{E}(Y_2) + \dots + c_k \mathbb{E}(Y_k) \\ &= c_1 \mu_1 + c_2 \mu_2 + \dots + c_k \mu_k \\ &= \mathbf{c}' \boldsymbol{\mu}\end{aligned}$$

- Isto é,

$$\mathbb{E}(\mathbf{c}' \mathbf{Y}) = \mathbf{c}' \mathbb{E}(\mathbf{Y})$$

- O vetor de constantes  $\mathbf{c}$  vai para fora do símbolo de esperança.

# $\mathbb{V}(\mathbf{c}' \mathbf{Y})$

- Agora a variância.

$$\mathbb{V}(X) = \mathbb{V}(c_1 Y_1 + c_2 Y_2 + \dots + c_k Y_k)$$

- Basta usar a definição de variância (e um pouco de paciência):

$$\begin{aligned}
 \mathbb{V}(X) &= \mathbb{E}(X - \mathbb{E}(X))^2 \\
 &= \mathbb{E}((c_1 Y_1 + c_2 Y_2 + \dots + c_k Y_k) - (c_1 \mu_1 + c_2 \mu_2 + \dots + c_k \mu_k))^2 \\
 &= \mathbb{E}((c_1(Y_1 - \mu_1) + c_2(Y_2 - \mu_2) + \dots + c_k(Y_k - \mu_k))^2) \\
 &= \mathbb{E}\left(\sum_i c_i^2(Y_i - \mu_i)^2 + \sum_{i \neq j} c_i c_j(Y_i - \mu_i)(Y_j - \mu_j)\right) \quad (\text{abrindo o quadrado}) \\
 &= \sum_i \mathbb{E}(c_i^2(Y_i - \mu_i)^2) + \sum_{i \neq j} \mathbb{E}(c_i c_j(Y_i - \mu_i)(Y_j - \mu_j)) \quad (\text{linearidade da esperança}) \\
 &= \sum_i c_i^2 \mathbb{E}(Y_i - \mu_i)^2 + \sum_{i \neq j} c_i c_j \mathbb{E}((Y_i - \mu_i)(Y_j - \mu_j)) \quad (\text{linearidade de novo}) \\
 &= \sum_i c_i^2 \mathbb{V}(Y_i) + \sum_{i \neq j} c_i c_j \text{Cov}(Y_i, Y_j) \quad (\text{pela def de Var e Cov})
 \end{aligned}$$

# $\mathbb{V}(\mathbf{c}'\mathbf{Y})$

- Assim, temos

$$\begin{aligned}
 \mathbb{V}(\mathbf{c}'\mathbf{Y}) &= \mathbb{V}(c_1 Y_1 + c_2 Y_2 + \dots + c_k Y_k) \\
 &= (c_1, \dots, c_k) \sum \begin{pmatrix} c_1 \\ \vdots \\ c_k \end{pmatrix} \\
 &= \mathbf{c}' \boldsymbol{\Sigma} \mathbf{c}
 \end{aligned}$$

onde  $\sum$  é matriz de covariância do vetor  $\mathbf{Y}$ .

- Veja que no caso univariado tínhamos a fórmula

$$\mathbb{V}(cY) = c^2 \mathbb{V}(Y) = c \mathbb{V}(Y) c,$$

que é versão univariada de  $\mathbb{V}(\mathbf{c}'\mathbf{Y}) = \mathbf{c}' \boldsymbol{\Sigma} \mathbf{c}$

## Enfatizando

- Mais uma vez, repetimos:
- Seja  $\mathbf{Y} = (Y_1, \dots, Y_k)$  um vetor aleatório com QUALQUER distribuição.
- Seja  $\mathbb{E}(\mathbf{Y}) = \boldsymbol{\mu}$  com matriz de covariância  $\mathbb{V}(\mathbf{Y}) = \boldsymbol{\Sigma}$ .
- Então

$$\mathbb{E} (\mathbf{c}' \mathbf{Y}) = \mathbf{c}' \boldsymbol{\mu}$$

e

$$\mathbb{V}(\mathbf{c}' \mathbf{Y}) = \mathbf{c}' \boldsymbol{\Sigma} \mathbf{c}$$

- Estes resultados são válidos mesmo no caso em que  $\mathbf{Y}$  não é nominal multivariado.
- Caso  $\mathbf{Y} \sim N_k(\boldsymbol{\mu}, \boldsymbol{\Sigma})$  então  $\mathbf{c}' \mathbf{Y} \sim N(\mathbf{c}' \boldsymbol{\mu}, \mathbf{c}' \boldsymbol{\Sigma} \mathbf{c})$

## Retorno de portfólio de ações

- Seja  $\mathbf{Y}_t = (Y_{1t}, Y_{2t}, Y_{3t}, Y_{4t})$  os retornos das quatro ações no dia  $t$ .
- Suponha que  $\mathbf{Y} \sim N_4(\boldsymbol{\mu}, \boldsymbol{\Sigma})$  com

$$\boldsymbol{\mu} = 10^{-3} \times (1.10.31.0 - 1.5)$$

e

$$\boldsymbol{\Sigma} = 10^{-4} \begin{pmatrix} & \text{Tel4} & \text{Tel5} & \text{Pet4} & \text{Suz4} \\ \text{Tel4} & 9.08 & 6.58 & 7.49 & 2.53 \\ \text{Tel5} & 6.58 & 9.27 & 6.53 & 2.00 \\ \text{Pet4} & 7.49 & 6.53 & 10.01 & 2.86 \\ \text{Suz4} & 2.53 & 2.00 & 2.86 & 7.69 \end{pmatrix}$$

- Vamos criar um portfólio com 30% de ações da Telebrás, 20% da Vale, 30% da Petrobrás e 20% da Suzano.
- O retorno deste mix de ações será o mix dos retornos das ações.
- Isto é, o retorno do portfólio é a v.a.

$$X = 0.3Y_1 + 0.2Y_2 + 0.3Y_3 + 0.2Y_4$$

- Qual a distribuição do retorno deste portfólio?

# Retorno de portfólio de ações

- Temos

$$X = 0.3Y_1 + 0.2Y_2 + 0.3Y_3 + 0.2Y_4 \sim N(\mu_x, \sigma_x^2) = N(0.00039, (0.0247)^2)$$

onde

$$\mu_x = (0.3, 0.2, 0.3, 0.2) 10^{-3} \begin{pmatrix} 1.1 \\ 0.3 \\ 1.0 \\ -1.5 \end{pmatrix} = 0.00039$$

e

$$\sigma_x^2 = (0.3, 0.2, 0.3, 0.2) \sum \begin{pmatrix} 0.3 \\ 0.2 \\ 0.3 \\ 0.2 \end{pmatrix} = 6.1247 \times 10^{-4} = (0.0247)^2$$

# Mais propriedades

- Podemos encontrar a distribuição conjunta de vários índices simultâneos
- Seja  $\mathbf{Y} \sim N_k(\boldsymbol{\mu}, \Sigma)$
- Seja  $\mathbf{A}$  um matriz  $q \times k$  de constantes e usada para gerar  $q$  índices:

$$\begin{aligned}\mathbf{A}_{q \times k} \mathbf{Y}_{k \times 1} &= \begin{bmatrix} a_{11} & a_{12} & \dots & a_{1k} \\ a_{21} & a_{22} & \dots & a_{2k} \\ \vdots & & & \\ a_{q1} & a_{q2} & \dots & a_{qk} \end{bmatrix} \begin{bmatrix} Y_1 \\ Y_2 \\ \vdots \\ Y_k \end{bmatrix} \\ &= \begin{bmatrix} a_{11}Y_1 + a_{12}Y_2 + \dots + a_{1k}Y_k \\ a_{21}Y_1 + a_{22}Y_2 + \dots + a_{2k}Y_k \\ \vdots \\ a_{q1}Y_1 + a_{q2}Y_2 + \dots + a_{qk}Y_k \end{bmatrix} = \begin{bmatrix} X_1 \\ X_2 \\ \vdots \\ X_q \end{bmatrix}\end{aligned}$$

- Qual a distribuição CONJUNTA dos  $q$  índices no vetor  $\mathbf{X}$ ?
- Uma maneira intuitiva de ver isto é pensar que, se duas linhas de  $\mathbf{A}$  forem muito parecidas, esperamos que os dois índices associados sejam muito correlacionados.

# Distribuição e combinações lineares

- RESULTADO: Se  $\mathbf{Y} \sim N_k(\boldsymbol{\mu}, \boldsymbol{\Sigma})$  então

$$\underset{q \times k}{\mathbf{A}} \underset{k \times 1}{\mathbf{Y}} \sim N_q (\mathbf{A}\boldsymbol{\mu}, \mathbf{A}\boldsymbol{\Sigma}\mathbf{A}')$$

- Além disso,  $\mathbf{Y} + \mathbf{c}$ , onde  $\mathbf{c}$  é um vetor  $k \times 1$  de constantes, é distribuído como

$$\mathbf{Y} + \mathbf{c} \sim N_k(\boldsymbol{\mu} + \mathbf{c}, \boldsymbol{\Sigma})$$

# Independência e covariância

**Result 4.5.**

- (a) If  $\mathbf{X}_1^{(q_1 \times 1)}$  and  $\mathbf{X}_2^{(q_2 \times 1)}$  are independent, then  $\text{Cov}(\mathbf{X}_1, \mathbf{X}_2) = \mathbf{0}$ , a  $q_1 \times q_2$  matrix of zeros.
- (b) If  $\begin{bmatrix} \mathbf{X}_1 \\ \mathbf{X}_2 \end{bmatrix}$  is  $N_{q_1+q_2}\left(\begin{bmatrix} \boldsymbol{\mu}_1 \\ \boldsymbol{\mu}_2 \end{bmatrix}, \begin{bmatrix} \boldsymbol{\Sigma}_{11} & \boldsymbol{\Sigma}_{12} \\ \boldsymbol{\Sigma}_{21} & \boldsymbol{\Sigma}_{22} \end{bmatrix}\right)$ , then  $\mathbf{X}_1$  and  $\mathbf{X}_2$  are independent if and only if  $\boldsymbol{\Sigma}_{12} = \mathbf{0}$ .
- (c) If  $\mathbf{X}_1$  and  $\mathbf{X}_2$  are independent and are distributed as  $N_{q_1}(\boldsymbol{\mu}_1, \boldsymbol{\Sigma}_{11})$  and  $N_{q_2}(\boldsymbol{\mu}_2, \boldsymbol{\Sigma}_{22})$ , respectively, then  $\begin{bmatrix} \mathbf{X}_1 \\ \mathbf{X}_2 \end{bmatrix}$  has the multivariate normal distribution  $N_{q_1+q_2}\left(\begin{bmatrix} \boldsymbol{\mu}_1 \\ \boldsymbol{\mu}_2 \end{bmatrix}, \begin{bmatrix} \boldsymbol{\Sigma}_{11} & \mathbf{0} \\ \mathbf{0}' & \boldsymbol{\Sigma}_{22} \end{bmatrix}\right)$

## Distribuição condicional

- Outra propriedade fantástica da normal multivariada é a facilidade de obter a distribuição condicional de um sub-vetor dados os valores dos outros elementos do vetor aleatório  $\mathbf{Y}$ .
- Em geral, para uma distribuição conjunta arbitrária, isto não é possível.
- Dada a conjunta  $f(y_1, \dots, y_k)$  dificlmente conseguimos saber qual é a distribuição de  $Y_1$  dados os valores das demais variáveis.
- Temos a fórmula para obter esta distribuição condicional,

$$f_{Y_1|Y_2, \dots, Y_k}(y_1|y_2, \dots, y_k) = \frac{f_{Y_1, Y_2, \dots, Y_k}(y_1, y_2, \dots, y_k)}{f_{Y_2, \dots, Y_k}(y_2, \dots, y_k)}$$

mas não é óbvio de antemão qual será o resultado desta fórmula.

- Este não é o caso da normal multivariada.
- Podemos obter imediatamente e sem muitas contas a distribuição condicional.

# Distribuição condicional

**Result 4.6.** Let  $\mathbf{X} = \begin{bmatrix} \mathbf{X}_1 \\ \mathbf{X}_2 \end{bmatrix}$  be distributed as  $N_p(\boldsymbol{\mu}, \boldsymbol{\Sigma})$  with  $\boldsymbol{\mu} = \begin{bmatrix} \boldsymbol{\mu}_1 \\ \boldsymbol{\mu}_2 \end{bmatrix}$ ,

$\boldsymbol{\Sigma} = \begin{bmatrix} \boldsymbol{\Sigma}_{11} & \boldsymbol{\Sigma}_{12} \\ \boldsymbol{\Sigma}_{21} & \boldsymbol{\Sigma}_{22} \end{bmatrix}$ , and  $|\boldsymbol{\Sigma}_{22}| > 0$ . Then the conditional distribution of  $\mathbf{X}_1$ , given

that  $\mathbf{X}_2 = \mathbf{x}_2$ , is normal and has

$$\text{Mean} = \boldsymbol{\mu}_1 + \boldsymbol{\Sigma}_{12}\boldsymbol{\Sigma}_{22}^{-1}(\mathbf{x}_2 - \boldsymbol{\mu}_2)$$

$$\text{Covariance} = \boldsymbol{\Sigma}_{11} - \boldsymbol{\Sigma}_{12}\boldsymbol{\Sigma}_{22}^{-1}\boldsymbol{\Sigma}_{21}$$

Note that the covariance does not depend on the value  $\mathbf{x}_2$  of the conditioning variable.

## Condisional: exemplo

- Seja  $\mathbf{Y}_t = (Y_{1t}, Y_{2t}, Y_{3t}, Y_{4t})$  os retornos das quatro ações no dia  $t$ .
- Suponha que  $\mathbf{Y} \sim N_4(\mu, \Sigma)$  com

$$\mathbf{Y} \sim N_4(\mu, \Sigma) = N_4 \left( \begin{pmatrix} 0.001 \\ 0.003 \\ -0.001 \\ -0.001 \end{pmatrix}, 10^{-4} \begin{pmatrix} & \text{Tel4} & \text{Vale5} & \text{Pet4} & \text{Suz4} \\ \text{Tel4} & 9.08 & 6.58 & 7.49 & 2.53 \\ \text{Vale5} & 6.58 & 9.27 & 6.53 & 2.00 \\ \text{Pet4} & 7.49 & 6.53 & 10.01 & 2.86 \\ \text{Suz4} & 2.53 & 2.00 & 2.86 & 7.69 \end{pmatrix} \right)$$

- Suponha que, de alguma forma, antecipamos o retorno das duas últimas ações, PET4 e SUZ4, no dia seguinte.
- Estima-se que PET4 e SUZ4 terão ambas um aumento de 5% (isto é,  $Y_{3t} = Y_{4t} = 0.05$ ).
- O que podemos dizer sobre os valores mais prováveis para TEL4 e VALE5?

## Condisional: exemplo

- Distribuição de  $(Y_{1t}, Y_{2t})$  dado que  $Y_{3t} = 0.05$  e  $Y_{4t} = 0.05$ : Como

$$\boldsymbol{\mu} = \begin{pmatrix} 0.001 \\ 0.003 \\ -0.001 \\ -0.001 \end{pmatrix} \quad \text{e } \boldsymbol{\Sigma} = 10^{-4} \begin{pmatrix} & \text{Tel4} & \text{Vale5} & \text{Pet4} & \text{Suz4} \\ \text{Tel4} & 9.08 & 6.58 & 7.49 & 2.53 \\ \text{Vale5} & 6.58 & 9.27 & 6.53 & 2.00 \\ \text{Pet4} & 7.49 & 6.53 & 10.01 & 2.86 \\ \text{Suz4} & 2.53 & 2.00 & 2.86 & 7.69 \end{pmatrix}$$

- sabemos que  $(Y_{1t}, Y_{2t})$  será uma normal bivariada  $N_2(\mathbf{m}, \boldsymbol{\Phi})$  com os seguintes parâmetros:

$$\begin{aligned} \mathbf{m} &= \boldsymbol{\mu}_{12} + \boldsymbol{\Sigma}_{12}\boldsymbol{\Sigma}_{22}^{-1} \begin{pmatrix} y_3 - \mu_3 \\ y_4 - \mu_4 \end{pmatrix} \\ &= \begin{pmatrix} 0.001 \\ 0.003 \end{pmatrix} + \begin{pmatrix} 7.49 & 2.53 \\ 6.53 & 2.00 \end{pmatrix} \begin{pmatrix} 10.01 & 2.86 \\ 2.86 & 7.69 \end{pmatrix}^{-1} \begin{pmatrix} 0.05 - 0.001 \\ 0.05 + 0.001 \end{pmatrix} \\ &= \begin{pmatrix} 0.040 \\ 0.036 \end{pmatrix} \end{aligned}$$

## Condisional: exemplo

- A matriz de covariância de  $(Y_{1t}, Y_{2t})$  dado que  $Y_{3t} = 0.05$  e  $Y_{4t} = 0.05$ :

$$\begin{aligned}\Phi &= \boldsymbol{\Sigma}_{11} - \boldsymbol{\Sigma}_{12} \boldsymbol{\Sigma}_{22}^{-1} \boldsymbol{\Sigma}_{21} \\ &= 10^{-4} \left( \begin{pmatrix} 9.08 & 6.58 \\ 6.58 & 9.27 \end{pmatrix} - \begin{pmatrix} 7.49 & 2.53 \\ 6.53 & 2.00 \end{pmatrix} \begin{pmatrix} 10.01 & 2.86 \\ 2.86 & 7.69 \end{pmatrix}^{-1} \begin{pmatrix} 7.49 & 6.53 \\ 2.53 & 2.00 \end{pmatrix} \right) \\ &= 10^{-4} \begin{pmatrix} 3.45 & 1.69 \\ 1.69 & 5.01 \end{pmatrix}\end{aligned}$$

- Assim, olhando diretamente as duas marginais CONDICIONADAS ao evento  $Y_{3t} = 0.05$  e  $Y_{4t} = 0.05$  e a correlação condicional:

$$(Y_{1t} | Y_{3t} = 0.05, Y_{4t} = 0.05) \sim N(0.040, (0.019)^2)$$

$$(Y_{2t} | Y_{3t} = 0.05, Y_{4t} = 0.05) \sim N(0.036, (0.022)^2)$$

## Condisional: exemplo

- Assim, antes de saber o valor de  $Y_{3t}$  e  $Y_{4t}$ , sabíamos que

$$Y_{1t} \sim N(0.001, (0.0301)^2) \text{ e } Y_{2t} \sim N(0.003, (0.0304)^2)$$

- Isto é, espera-se uma valorização de 0.1% ao dia para PET4 e de 0.3% para VALE5.
- Agora que somos informados de que as ações PET4 e SUZ4 tiveram uma grande valorização de 5% de um dia para o outro, podemos revisar o que esperamos para as outras duas ações, PET4 e VALE5:

$$(Y_{1t} | Y_{3t} = 0.05, Y_{4t} = 0.05) \sim N(0.040, (0.019)^2)$$

$$(Y_{2t} | Y_{3t} = 0.05, Y_{4t} = 0.05) \sim N(0.036, (0.022)^2)$$

- Note que agora esperamos uma valorização de 4% para PET4 (40 vezes maior que antes) e de 3.6% para VALE5 (ou 12 vezes maior que antes).
- Note também como o DP diminuiu nos dois casos.

## Condisional: exemplo

- Marginalmente,  $Y_{1t}$  e  $Y_{3t}$  são correlacionadas e  $\rho_{12} = 0.72$ .
- A correlação condicional  $\text{Cor}(Y_{1t}, Y_{2t} | Y_{3t} = 0.05, Y_{4t} = 0.05)$  entre estas duas ações PET4 e VALE5 é dada por

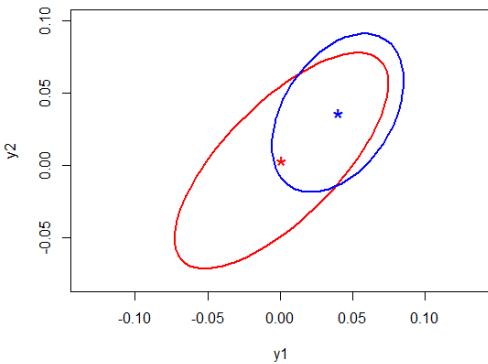
$$\frac{\text{Cov}(Y_{1t}, Y_{2t} | Y_{3t} = 0.05, Y_{4t} = 0.05)}{\sqrt{\mathbb{V}(Y_{1t} | Y_{3t} = 0.05, Y_{4t} = 0.05)\mathbb{V}(Y_{2t} | Y_{3t} = 0.05, Y_{4t} = 0.05)}}$$

$$\frac{1.69 \times 10^{-4}}{0.019 \times 0.022} = 0.40$$

- Assim, conhecer o evento  $Y_{3t} = 0.05$  e  $Y_{4t} = 0.05$  DIMINUI a correlação entre as variáveis  $Y_{1t}$  e  $Y_{4t}$  de 0.70 para 0.40.
- Em resumo: as distribuições de  $Y_{1t}$  e  $Y_{4t}$  bem como sua correlação são bastante impactadas pelo evento  $Y_{3t} = 0.05$  e  $Y_{4t} = 0.05$ .

## Condisional: exemplo

- Elipse vermelha: região em que  $(Y_1, Y_2)$  cai com probabilidade 95%.
- Elipse azul: dado que  $Y_3 = 0.05$  e  $Y_4 = 0.05$ , esta é a região em que  $(Y_1, Y_2)$  cai com probabilidade 95%.



## Propriedades: resumo

The following are true for a random vector  $\mathbf{X}$  having a multivariate normal distribution:

1. Linear combinations of the components of  $\mathbf{X}$  are normally distributed.
2. All subsets of the components of  $\mathbf{X}$  have a (multivariate) normal distribution.
3. Zero covariance implies that the corresponding components are independently distributed.
4. The conditional distributions of the components are (multivariate) normal.

# Distância estatística e anomalias

- Seja  $\mathbf{Y} \sim N_k(\boldsymbol{\mu}, \boldsymbol{\Sigma})$ .
- Considere a distância estatística de um ponto aleatório  $\mathbf{Y}$  até seu vetor médio  $\boldsymbol{\mu}$ :

$$D^2 = (\mathbf{Y} - \boldsymbol{\mu})' \boldsymbol{\Sigma}^{-1} (\mathbf{Y} - \boldsymbol{\mu})$$

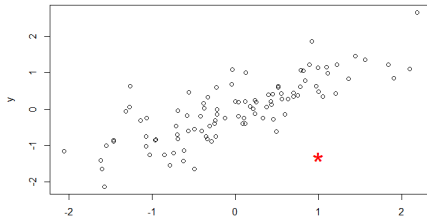
- Se  $\mathbf{Y}$  é um ponto aleatório, a distância  $D^2$  também é aleatória.
- Algumas vezes esta distância é grande, algumas vezes ela é pequena.
- Qual a distribuição de probabilidade desta distância?
- Quando um ponto aleatório  $\mathbf{Y}$  poderá ser considerado anômalo?
- Quando sua distância poderá ser considerada excessiva?

## Uma coordenada por vez?

- Basta olhar cada coordenada, não?
- Sabemos que cada coordenada  $Y_i$  segue uma normal.
- Neste caso, a chance de cada coordenada  $Y_i$  se afastar de sua média  $\mu_i$  por mais de 2DPs  $\sigma_i$  é aproximadamente 5%.
- E de se afastar mais de 3 DP $s \sigma_i$  é 0.3% enquanto se afastar mais de 4 DP $s \sigma_i$  é apenas 0.006%.
- Assim, temos um critério para determinar se um ponto é moderadamente ou muito anômalo olhando uma coordenada de cada vez.
- Acontece que podemos fazer melhor.
- Podemos ter um ponto muito anômalo n espaço  $k$ -dimensional mas NENHUMA de suas coordenadas é anômala!!

## Anomalias em $k$ dimensões

- Para ilustrar este fenômeno, vamos considerar apenas o caso bi-dimensional.
- Veja o gráfico abaixo de uma amostra de uma normal bi-variada  $N_2(\mathbf{0}, \Sigma)$  onde o valor esperado de cada variável é zero, a variância é 1 e a correlação é  $\rho = 0.85$ .
- O ponto vermelho é claramente uma anomalia mas olhando-se os valores de *cada uma de suas coordenadas isoladamente* não nenhuma evidência de que seja uma anomalia.



# Distribuição de $D^2$

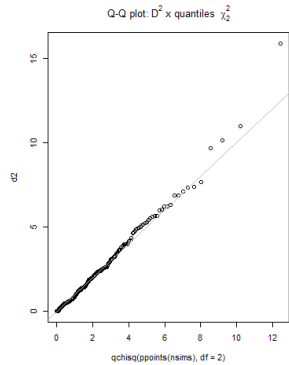
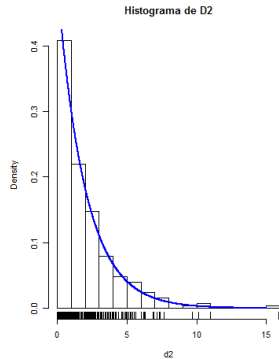
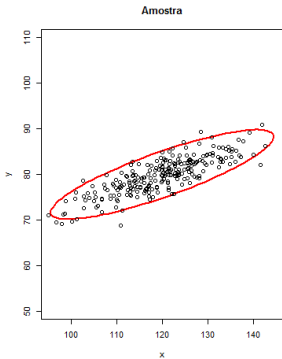
- Como usar o resultado abaixo?

**Result 4.7.** Let  $\mathbf{X}$  be distributed as  $N_p(\boldsymbol{\mu}, \Sigma)$  with  $|\Sigma| > 0$ . Then

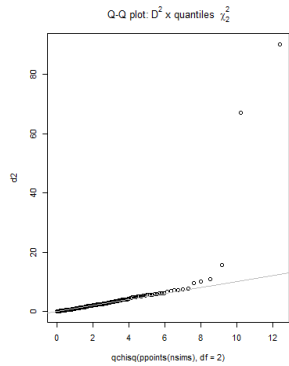
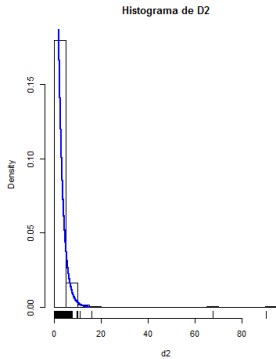
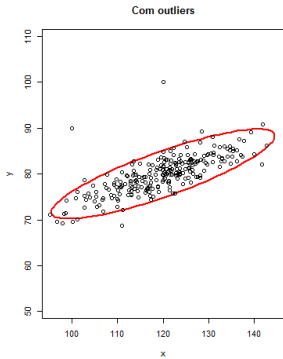
- (a)  $(\mathbf{X} - \boldsymbol{\mu})'\Sigma^{-1}(\mathbf{X} - \boldsymbol{\mu})$  is distributed as  $\chi_p^2$ , where  $\chi_p^2$  denotes the chi-square distribution with  $p$  degrees of freedom.
- (b) The  $N_p(\boldsymbol{\mu}, \Sigma)$  distribution assigns probability  $1 - \alpha$  to the solid ellipsoid  $\{\mathbf{x}: (\mathbf{x} - \boldsymbol{\mu})'\Sigma^{-1}(\mathbf{x} - \boldsymbol{\mu}) \leq \chi_p^2(\alpha)\}$ , where  $\chi_p^2(\alpha)$  denotes the upper  $(100\alpha)$ th percentile of the  $\chi_p^2$  distribution.

- Calcule a distância estatística  $d^2$  para cada ponto  $\mathbf{y}$ .
- Plote estes distâncias versus um certo valor esperado sob a hipótese de normalidade.
- O plot deveria se parecer com uma linha reta com inclinação 1 e passando pela origem.
- Uma curva sistematicamente desviando-seda reta indica que a distribuição não é normal multivariada.
- Apenas um ou dois pontos desviando-se muito acima da reta indicam grandes distâncias ou anomalias.

# Exemplo: $N_2$ sem outliers



# Exemplo: $N_2$ com dois outliers



## 2-dim ou $k$ -dim

- O mais relevante é o QQ-plot, o terceiro plot.
- Se os vetores são 2-dim, um simples scatterplot das duas variáveis mostra quais são as anomalias: QQ-plot não ajuda muito.
- A principal utilidade dos QQ-plots é quando a dimensão do vetor for maior que 2.
- Não conseguimos visualizar todos as dimensões ao mesmo tempo.
- Em R:

```
d2 = mahalanobis(x, center = mu, cov=S)
qqplot(qchisq(ppoints(length(d2)), df = ncol(x)), d2)
```

# Distribuição qui-quadrado

- Vimos que  $D^2$  segue uma distribuição qui-quadrado com  $k$  graus de liberdade quando o vetor  $\mathbf{Y} \sim N_k(\mu, \Sigma)$ .
- Já encontramos esta distribuição no teste qui-quadrado.
- Esta distribuição só depende da dimensão do vetor.
- Não interessa os valores típicos nem a escala dos elementos do vetor  $\mathbf{Y}$ .
- Ela é uma métrica universal para desvios em  $k$  dimensões quanto os dados são gaussianos.
- Como é a cara desta distribuição qui-quadrado?
- Ela é uma distribuição contínua com uma densidade

$$f(x) = \text{cte } x^{k/2-1} e^{-x/2}$$

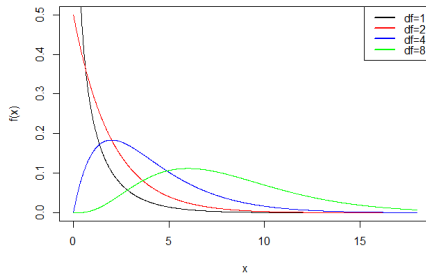
# Distribuição qui-quadrado

- Por exemplo:

$$f(x) = \text{cte } e^{-x/2} \quad \text{com } k = 2 \text{ degrees of freedom}$$

$$f(x) = \text{cte } xe^{-x/2} \quad \text{com } k = 4 \text{ d.f.}$$

$$f(x) = \text{cte } x^9 e^{-x/2} \quad \text{com } k = 20 \text{ d.f.}$$



## Quantil de qui-quadrado

- Como  $D^2 \sim \chi^2(k)$ , achamos o valor de  $x$  que deixa uma proporção  $p$  da área da  $\chi^2(k)$  abaixo dele.
- Este valor é chamado de quantil e denotado por  $q(p)$ .

$$\text{quantil } p = q(p) \text{ tal que } \mathbb{P}(\chi^2(k) \leq q(p)) = p$$

- Por exemplo, para a proporção  $p = 0.65$ , queremos

$$\text{quantil } 0.65 = q(0.65) \text{ tal que } \mathbb{P}(\chi^2(k) \leq q(0.65)) = 0.65$$

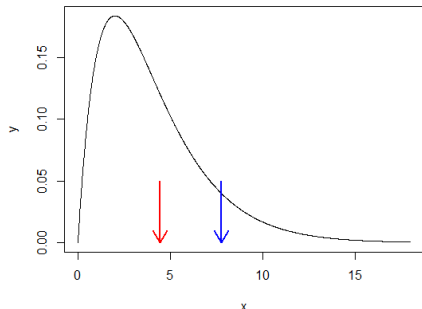
- Sendo mais específicos, suponha que a dimensão do vetor é  $k = 4$ .
- Então queremos

$$\text{quantil } 0.65 = q(0.65) \text{ tal que } \mathbb{P}(\chi^2(4) \leq q(0.65)) = 0.65$$

- Esta valor é  $q(0.65) = 4.438$  e facilmente encontrado em R com `qchisq(0.65, 4)`.

## Quantil de qui-quadrado

- Dois quantis de uma qui-quadrado com 4 graus de liberdades.
- Seta vermelha: com  $p = 0.65$ , o quantil  $q(0.65)$
- Seta azul: com  $p = 0.90$ , o quantil  $q(0.90)$
- Estes quantis são valores TEÓRICOS, não precisam de dados para serem obtidos, apenas da densidade de probabilidade.



## Os quantis $q(p)$

- Para fazer o QQ-plot com uma amostra de tamanho  $n$ , os quantis  $q(p)$  de interesse são os valores  $p$  no conjunto

$$p \in \left\{ \frac{1 - 0.5}{n}, \frac{2 - 0.5}{n}, \frac{3 - 0.5}{n}, \dots, \frac{n - 0.5}{n} \right\}$$

- Por exemplo, se  $n = 137$  então calculamos os quantis  $q(p)$  para  $p$  no conjunto

$$p \in \left\{ \frac{1 - 0.5}{137}, \frac{2 - 0.5}{137}, \frac{3 - 0.5}{137}, \dots, \frac{137 - 0.5}{137} \right\} = \{0.0036, 0.0109, 0.0182, \dots, 0.9963\}$$

- A subtração de 0.5 no numerador é para evitar problemas nos extremos: não queremos o quantil associado com a proporção  $p = n/n = 1$ . Para manter a consistência, 0.5 é subtraído de todos os elementos.
- Se a dimensão do vetor é  $k = 4$ , estes quantis são obtidos em R com os comandos

```
prop = ppoints(nsims) # conjunto de pontos p
qp = qchisq(prop, df = 4)
```

## Os quantis $q(p)$ e a amostra

- Sabemos que o valor teórico  $q(p)$  para a distância estatística é aquele valor que deixaria aproximadamente  $p100\%$  das distâncias de uma amostra abaixo dele.
- Isto é, como

$$\mathbb{P}(D^2 \leq q(p)) = p$$

então esperamos  $p100\%$  dos pontos com uma distância estatística menor que  $q(p)$ .

- Por exemplo, com um vetor de dimensão  $k = 4$ , o quantil  $q(0.65) = 4.438$  pois

$$\mathbb{P}(\chi^2(4) \leq 4.438) = 0.65$$

- Assim, ao calcular a distância estatística  $D^2$  para cada ponto da amostra, esperamos que 65% deles tenham distância menor que 4.438.

## Quantil teórico e empírico

- Podemos obter uma boa estimativa do valor TEÓRICO  $q(p)$  a partir da amostra.
- Calcular a distância estatística  $D^2$  para cada ponto da amostra e *ordene os valores*:

$$D_{(1)}^2 \leq D_{(2)}^2 \leq \dots \leq D_{(n)}^2$$

- O símbolo  $(i)$  no sub-índice indica a *i*-ésima *estatística de ordem*.
- Considere uma proporção  $p = i/n$ .
- Por exemplo, suponha que  $k = 4$ ,  $n = 100$  e queremos  $p = 76/100 = 0.76$ .
- Temos  $q(0.76) = 5.4969 = \text{qchisq}(0.76, 4)$ :

$$\mathbb{P}(D^2 \leq 5.4969) = 0.76$$

## Quantil teórico e empírico

- A 76-ésima estatística de ordem  $D_{76}^2$  deixa 76% dos pontos abaixo ou igual a ela.
- Assim, se quiseremos uma estimativa *EMPÍRICA* (baseada nos dados) do valor teórico  $q(0.76) = 5.4969$  (obtido da densidade da  $\chi^2$ ), o valor  $D_{76}^2$  é um bom candidato.
- Esperamos  $D_{(76)}^2 \approx q(0.76) = 5.4969$  pois como

$$\mathbb{P}(D^2 \leq 5.4969) = 0.76 ,$$

esperamos 76% da amostra abaixo do valor teórico  $q(0.76) = 5.4969$ .

- Como temos exatamente 76% abaixo do valor *EMPÍRICO*  $D_{(76)}^2$ ,

proporção das variáveis  $leq D_{(76)}^2 = 76/100$  ,

podemos esperar  $D_{(76)}^2 \approx q(0.76) = 5.4969$ .

## Então, fazendo o QQ-plot

- Tome a proporção  $p = (i - 0.5)/n$  e ache o quantil TEÓRICO

$$\text{quantil } \frac{i - 0.5}{n} = q_i \text{ tal que } \mathbb{P}(\chi^2(k) \leq q_i) = \frac{i - 0.5}{n}$$

- Variamos  $i$  calculamos os quantis  $q_i$  para  $i = 1, 2, \dots, n$ .
- Para cada  $i$ , paremos  $q_i$  e a  $i$ -ésima distância ordenada  $D_{(i)}^2$ .
- Devemos ter  $q_i \approx D_{(i)}^2$  para todo  $i$ .
- Portanto, os pares  $(q_i, D_{(i)}^2)$  devem cair ao longo da reta  $y = x$  se os pontos são uma amostra aleatória de uma normal multivariada.

## Checando em R

- Vamos simular alguns dados de uma normal multivariada e verificar que seu QQ-plot segue o padrão esperado.
- Seja  $\mathbf{Y} \sim N_4(\boldsymbol{\mu}, \boldsymbol{\Sigma})$  onde  $\boldsymbol{\mu} = (4, 3, 2, 1)$  e matriz de covariância

$$\boldsymbol{\Sigma} = \begin{pmatrix} 3 & 0 & 2 & 2 \\ 0 & 1 & 1 & 0 \\ 2 & 1 & 9 & -2 \\ 2 & 0 & -2 & 4 \end{pmatrix}$$

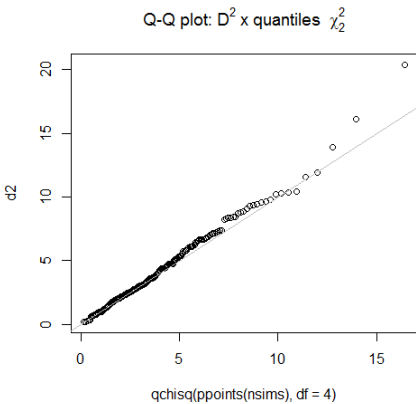
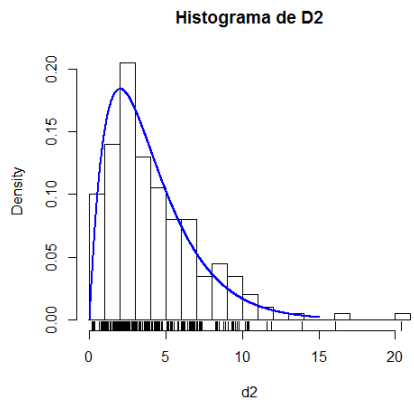
- Vamos gerar uma amostra de `nsims=200` vetores i.i.d. desta distribuição e fazer o QQ-plot com as distâncias estatísticas.
- NOTE QUE: Na prática, temos APENAS a amostra, sem os valores teóricos  $\boldsymbol{\mu}$  e  $\boldsymbol{\Sigma}$ , que devem ser estimados a partir dos dados.

## Script R

```
require(MASS); nsims=200; set.seed(1)
Sigma = matrix(c(3,0,2,2,0,1,1,0,2,1,9,-2,2,0,-2,4),4,4)
pts = mvrnorm(nsims, c(4,3,2,1), Sigma)
m = apply(pts, 2, mean)
round(m, 3) # [1] 3.863 2.997 1.909 0.998
S = cov(pts); round(S, 2)
# [,1] [,2] [,3] [,4]
#[1,] 2.97 -0.09 1.50 2.17
#[2,] -0.09 1.16 0.98 -0.02
#[3,] 1.50 0.98 7.87 -1.66
#[4,] 2.17 -0.02 -1.66 3.96
d2 = mahalanobis(pts, m, S)
# Passamos m e S, as ESTIMATIVAS de mu e Sigma
```

## Script R

```
par(mfrow=c(1,2))
hist(d2, n=15, prob=T, main = "Histograma de D2")
rug(d2)
aux = seq(0, 15, by=0.01)
yaux = dchisq(xaux, df=ncol(pts))
lines(xaux, yaux, , lwd=2, col="blue")
qqplot(qchisq(ppoints(nrow(pts)), df = ncol(pts)), d2,
       main = expression("Q-Q plot:" * ~D^2 *
                         " x quantiles " * ~ chi[2]^2))
abline(0, 1, col = 'gray')
```

Amostra de  $N_4(\mu, \Sigma)$ 

# Amostra com outliers

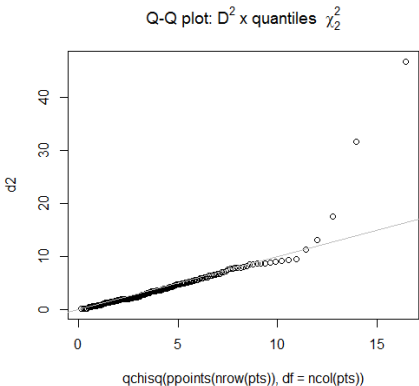
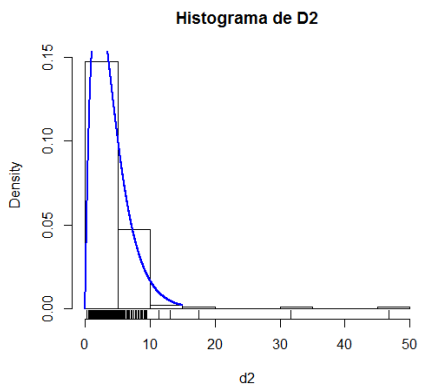


Figura: Adicionando dois outliers

## Script: mais dois outliers

```
set.seed(1)
pts = mvrnorm(nsims, c(4,3,2,1), Sigma)
pts = rbind(pts, c(4,3,-3,-5), c(10,6,2,4))
m = apply(pts, 2, mean); S = cov(pts)
d2 = mahalanobis(pts, m, S)
par(mfrow=c(1,2))
hist(d2, n=15, prob=T, main = "Histograma de D2"); rug(d2)
aux = seq(0, 15, by=0.01); yaux = dchisq(xaux, df=ncol(pts))
lines(xaux, yaux, , lwd=2, col="blue")
qqplot(qchisq(ppoints(nrow(pts))), df = ncol(pts)), d2,
       main = expression("Q-Q plot:" * ~D^2 *
" x quantiles " * ~ chi[2]^2))
abline(0, 1, col = 'gray')
```